

RN32

- 1- Coordonnées des emprunts et des points d'eau
- 2- Coupes de sondages
- 3- Résumés des graphiques
- 4- Tableaux récapitulatifs des résultats des essais sur les emprunts
- 5- Carrières rocheuses

1- Coordonnées des emprunts et des points d'eau

Tableau 78 : Coordonnées des emprunts

| N° | SECTION | NOM | PK ou | Coordonnées GPS (UTM 29P) | Surface (m ²) | Epaisseur moyenne (m) | | Volume moyen foisonné (m ³) | |
|----|-------------------------|---------------------------------|--------|---------------------------|---------------------------|-----------------------|-------|---|---------|
| | | EMPRUNT | Profil | | | Déc. | Expl. | Déc. | Expl. |
| 1 | RN32/POINT A- MACINA | BBOUGOU A 10Km du POINT A | 0+100 | x=0819666 y=1509461 | 20 000 | 0.13 | 0.88 | 2500 | 17500 |
| 2 | | TEMOU A 6 Km du POINT A | 0+200 | x=0807176 y=1522910 | 160 000 | 0.11 | 1.5 | 17333 | 240 000 |
| 3 | | OUELA | 52+500 | x=0217447 y=1548389 | 22500 | 0.16 | 0.84 | 3563 | 18938 |

Tableau 79 : Coordonnées des points d'eau

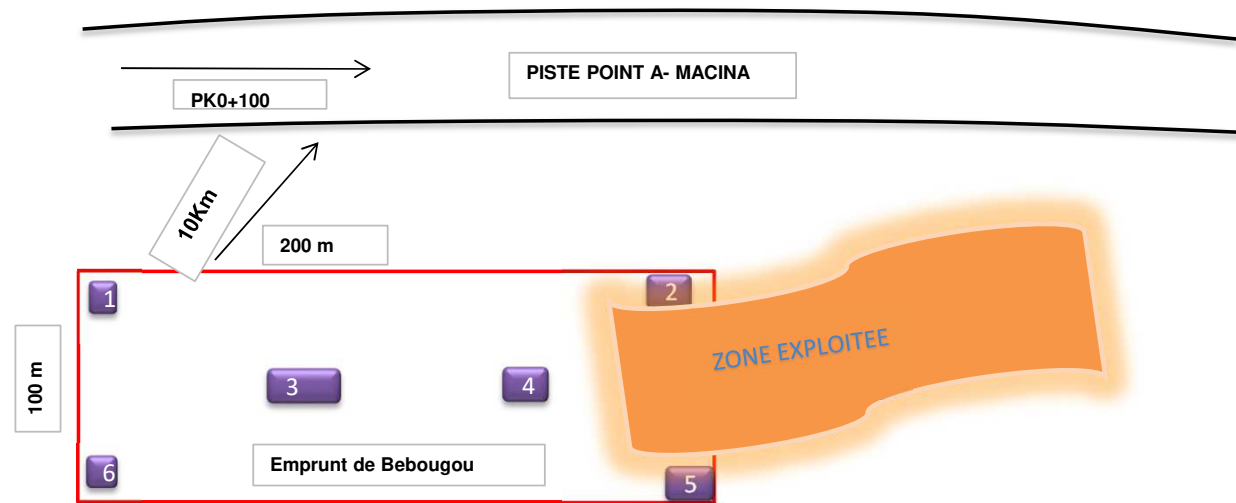
| Section | N° | Designation (localité) | Coordonnées GPS (UTM 29P) |
|-----------------|----|--------------------------------|---------------------------|
| POINT A- MACINA | 1 | Fleuve Niger | x=0236225 y=1546699 |
| | 2 | CANAL DE KAYO | x=0217337 y=1537199 |
| | 3 | Fleuve Niger à WELENTIGUILA | x=0820834 y=1520391 |
| | 4 | Fleuve Niger | Tout le long du tronçon |

2- Coupes de sondages

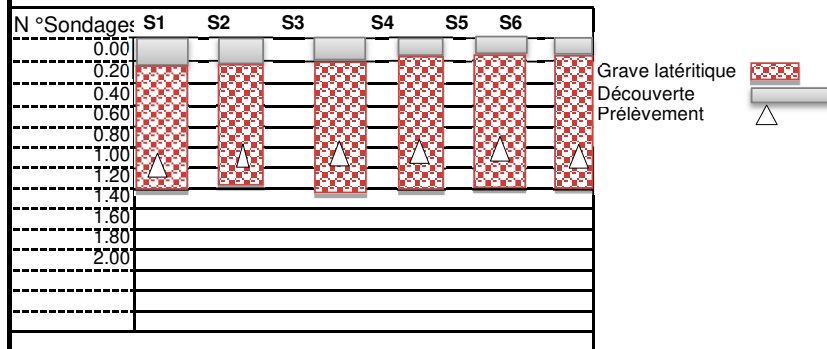
Projet : Recherche d'emprunt latéritique et de carrière rocheuse sur les routes nationales RN32 et RN35

SCHEMAS D'EMPRUNT LATERITE DE BEBOUGOU

■ Sondages prélevés

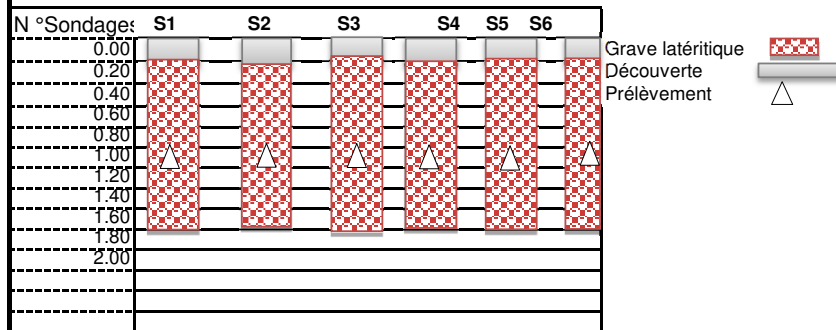
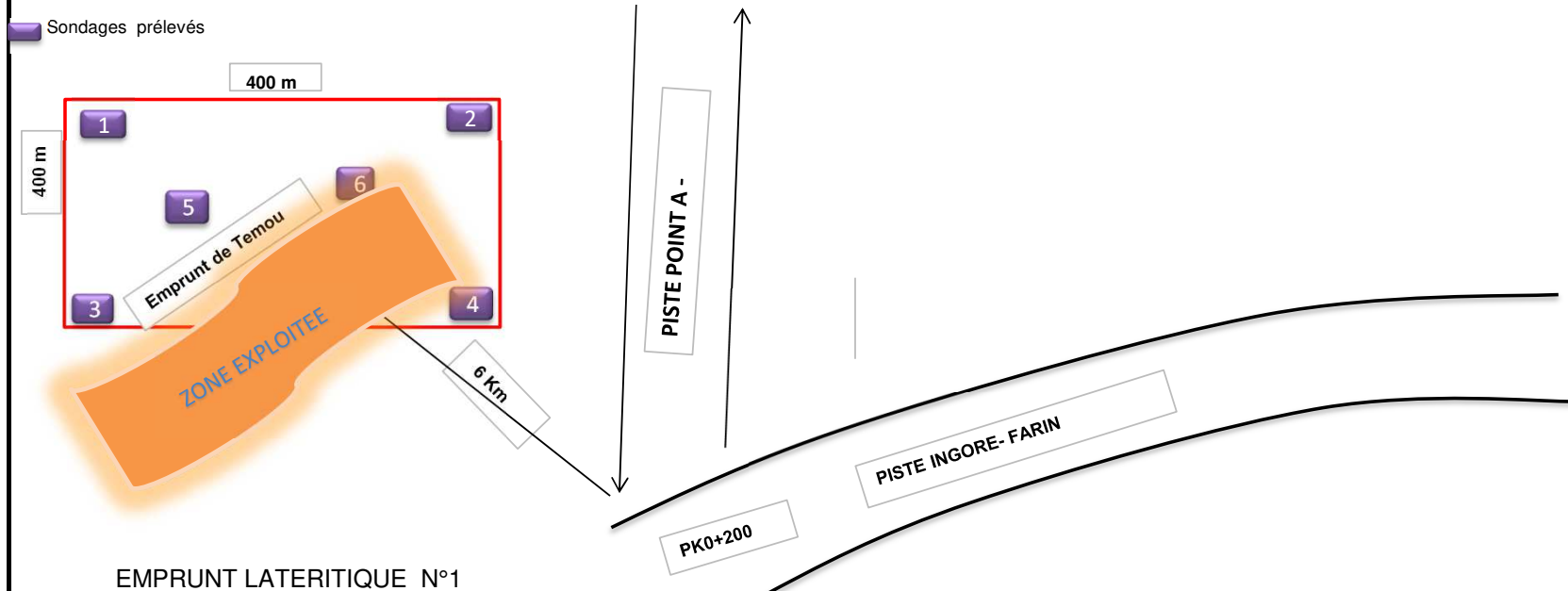


EMPRUNT LATERITIQUE N°3 PK0+200



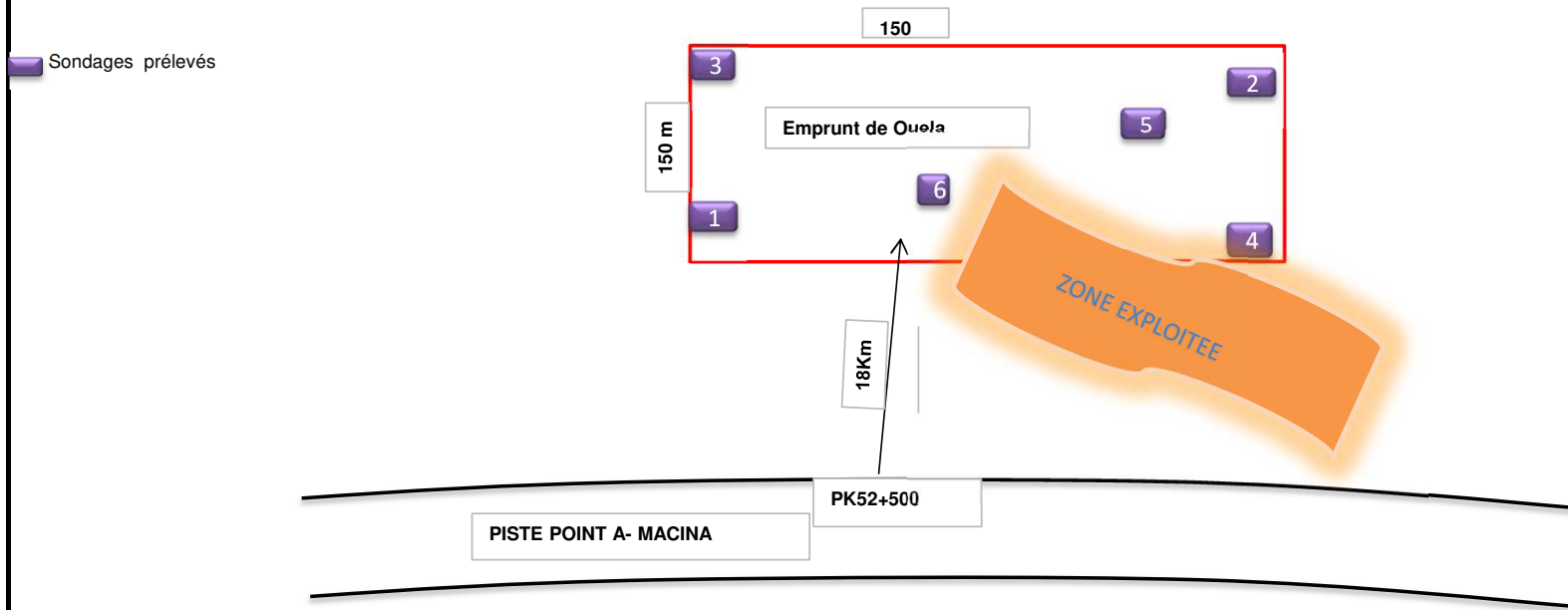
Projet : Recherche d'emprunt latéritique et de carrière rocheuse sur les routes nationales RN32 et RN35

SCHMAS D'EMPRUNT LATERITE DE TEMOU: PISTE POINT A - MACINA

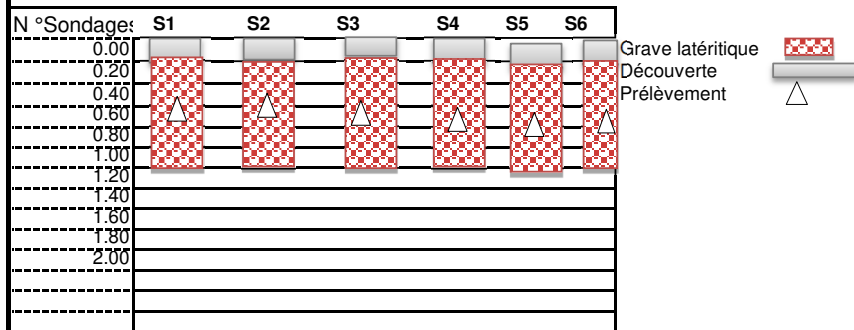


Projet : Recherche d'emprunt latéritique et de carrière rocheuse sur les routes nationales RN32 et RN35

SCHEMAS D'EMPRUNT LATERITE:TRONCON DE OUELA

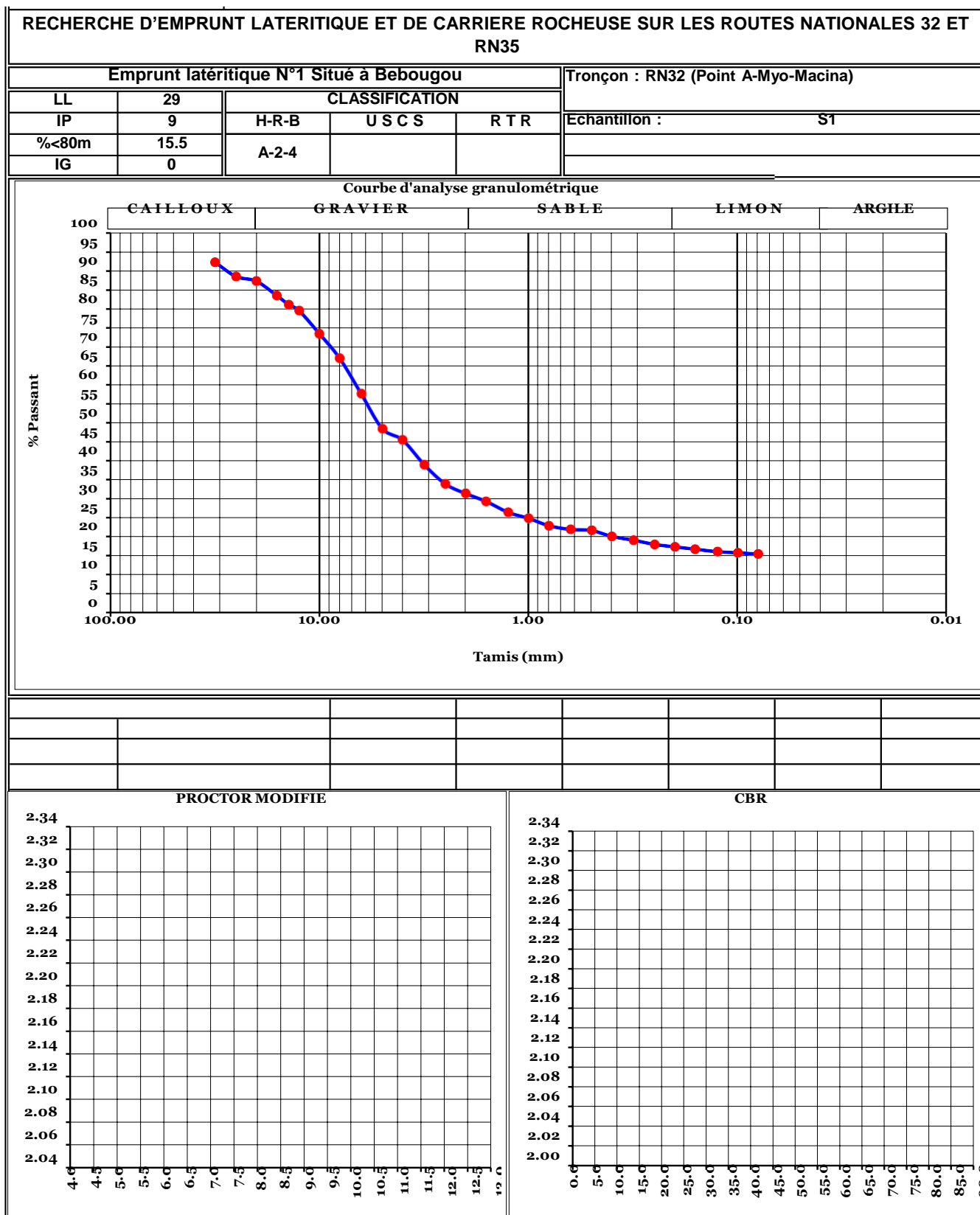


EMPRUNT LATERITIQUE N°1PK52+500

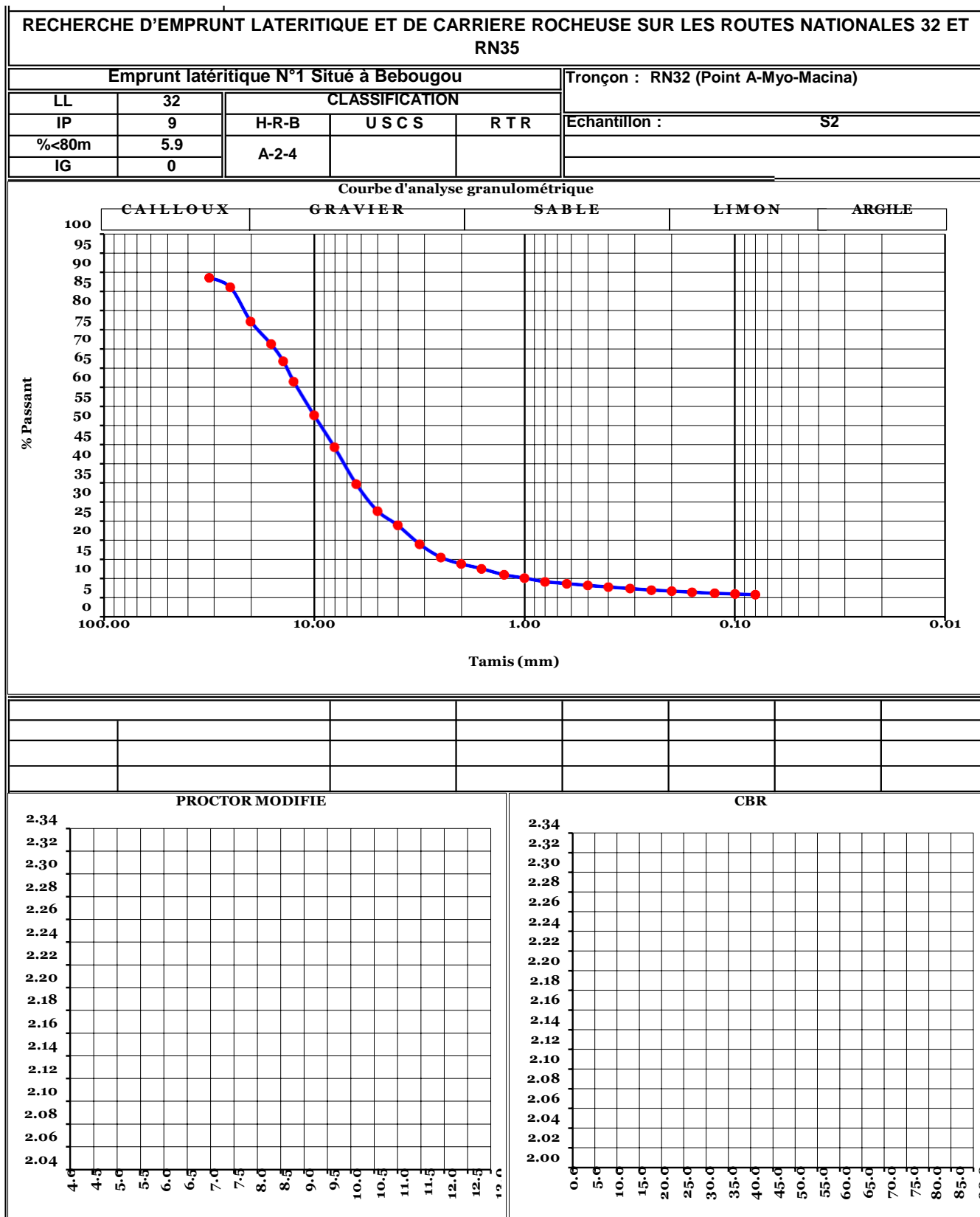


3- Résumés des graphiques

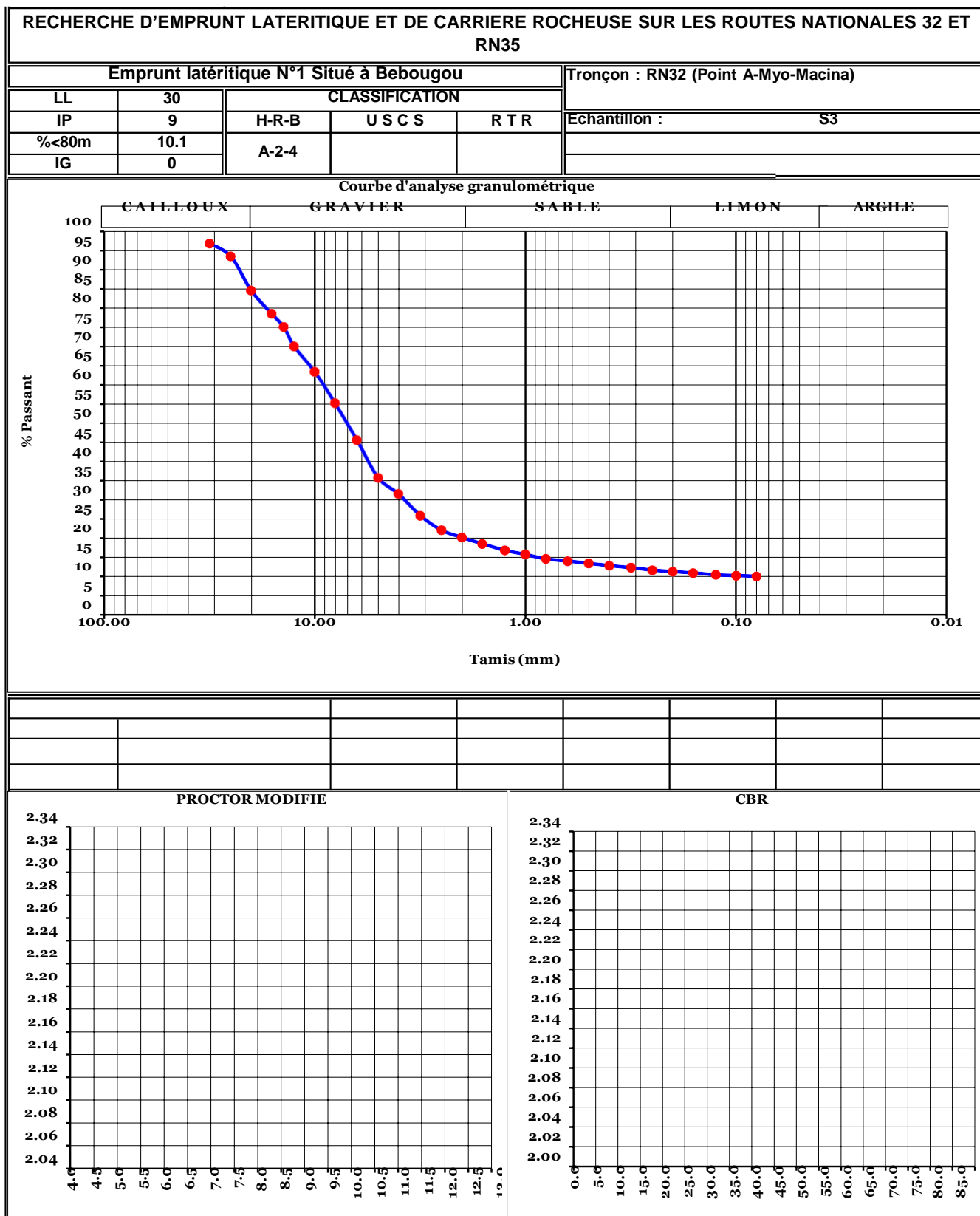
ANNEXE RECONNAISSANCE DES EMPRUNTS



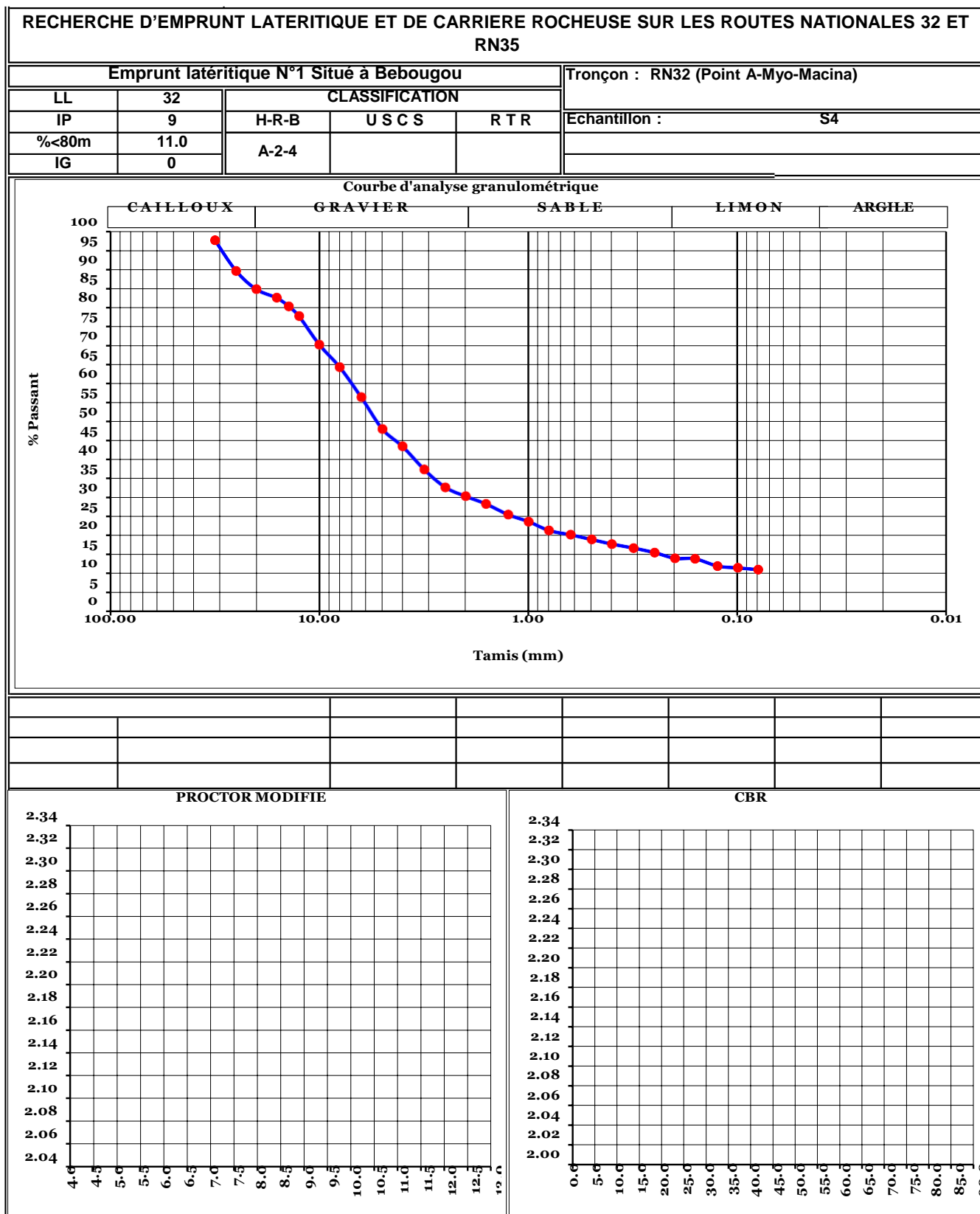
ANNEXE RECONNAISSANCE DES EMPRUNTS



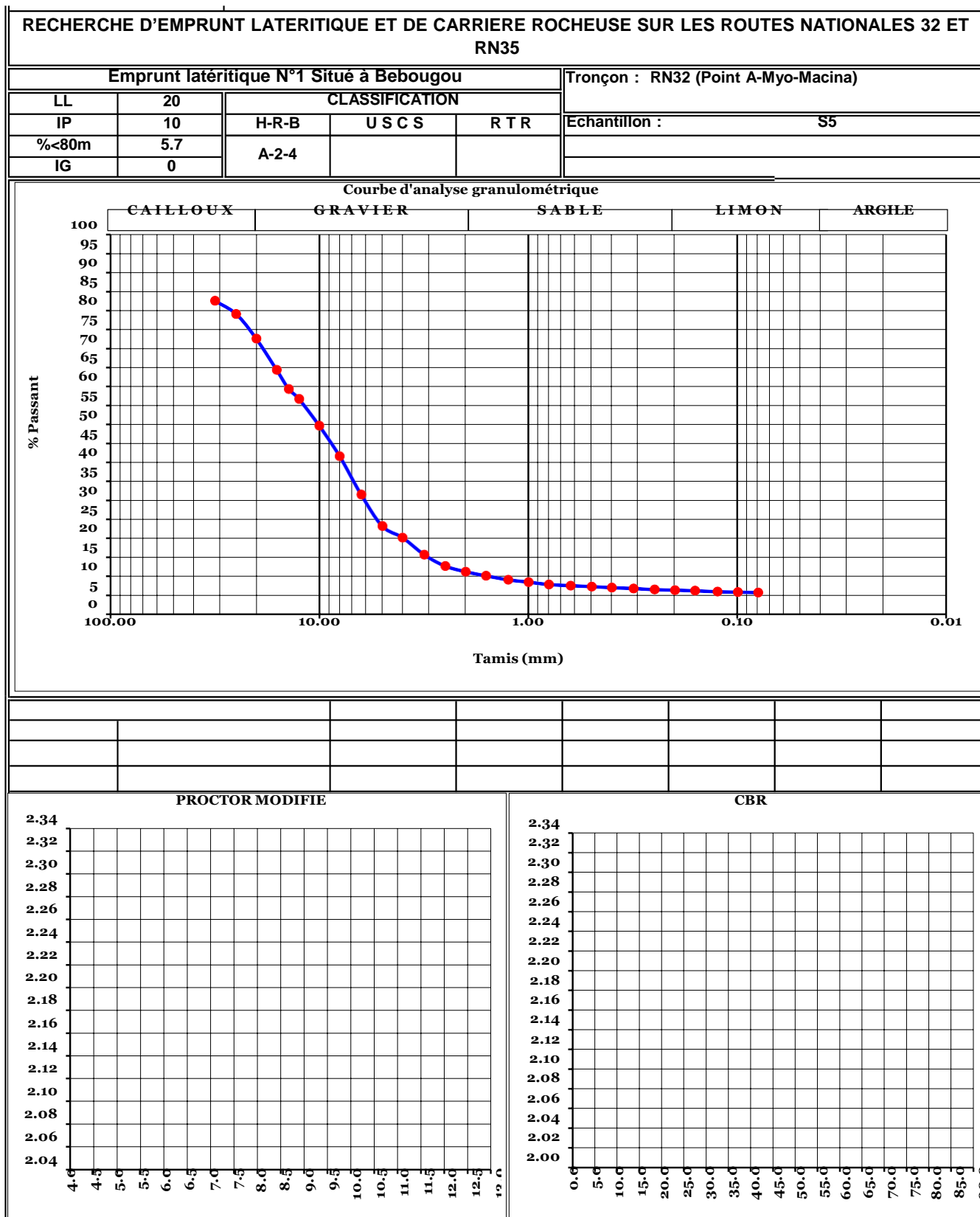
ANNEXE RECONNAISSANCE DES EMPRUNTS



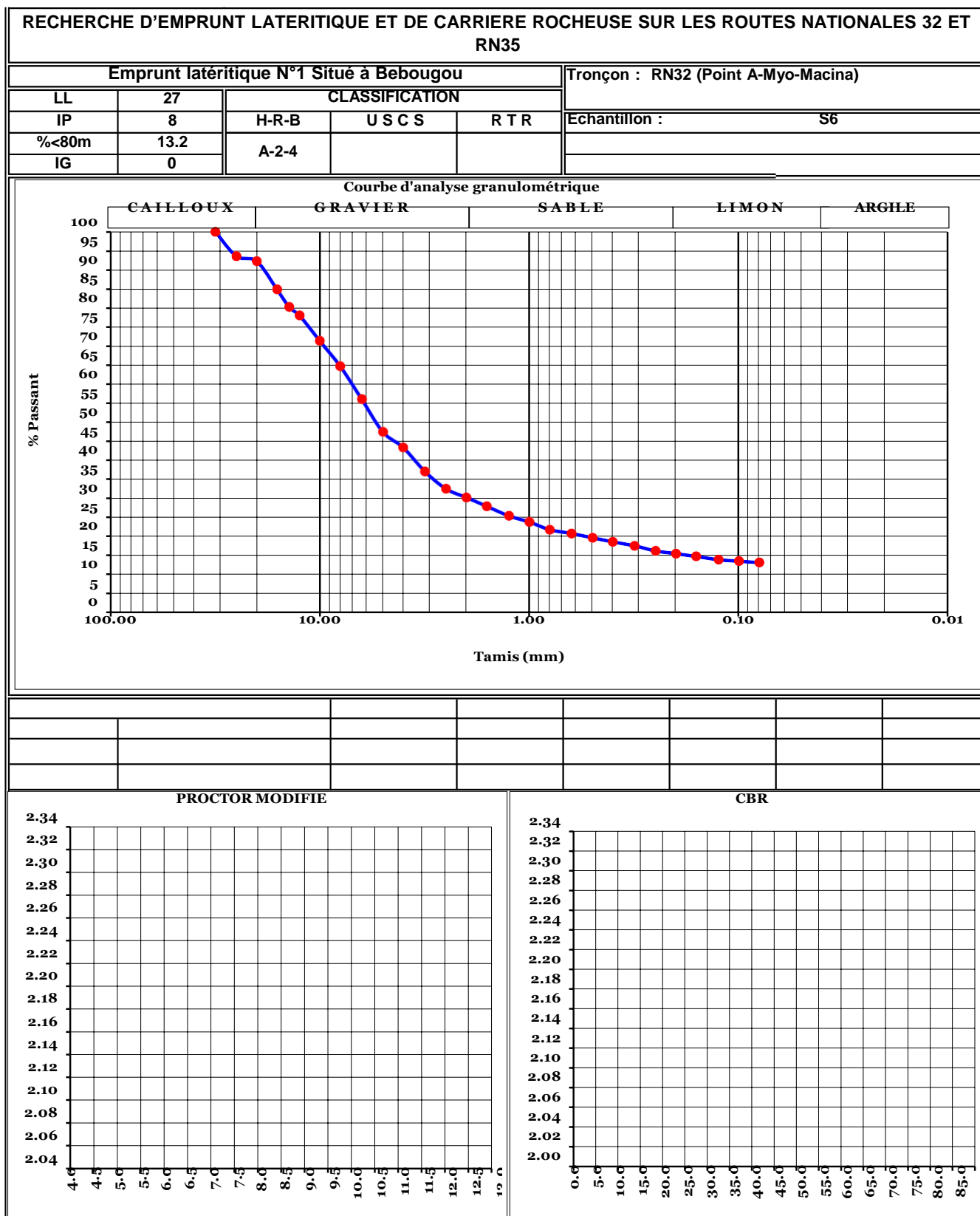
ANNEXE RECONNAISSANCE DES EMPRUNTS



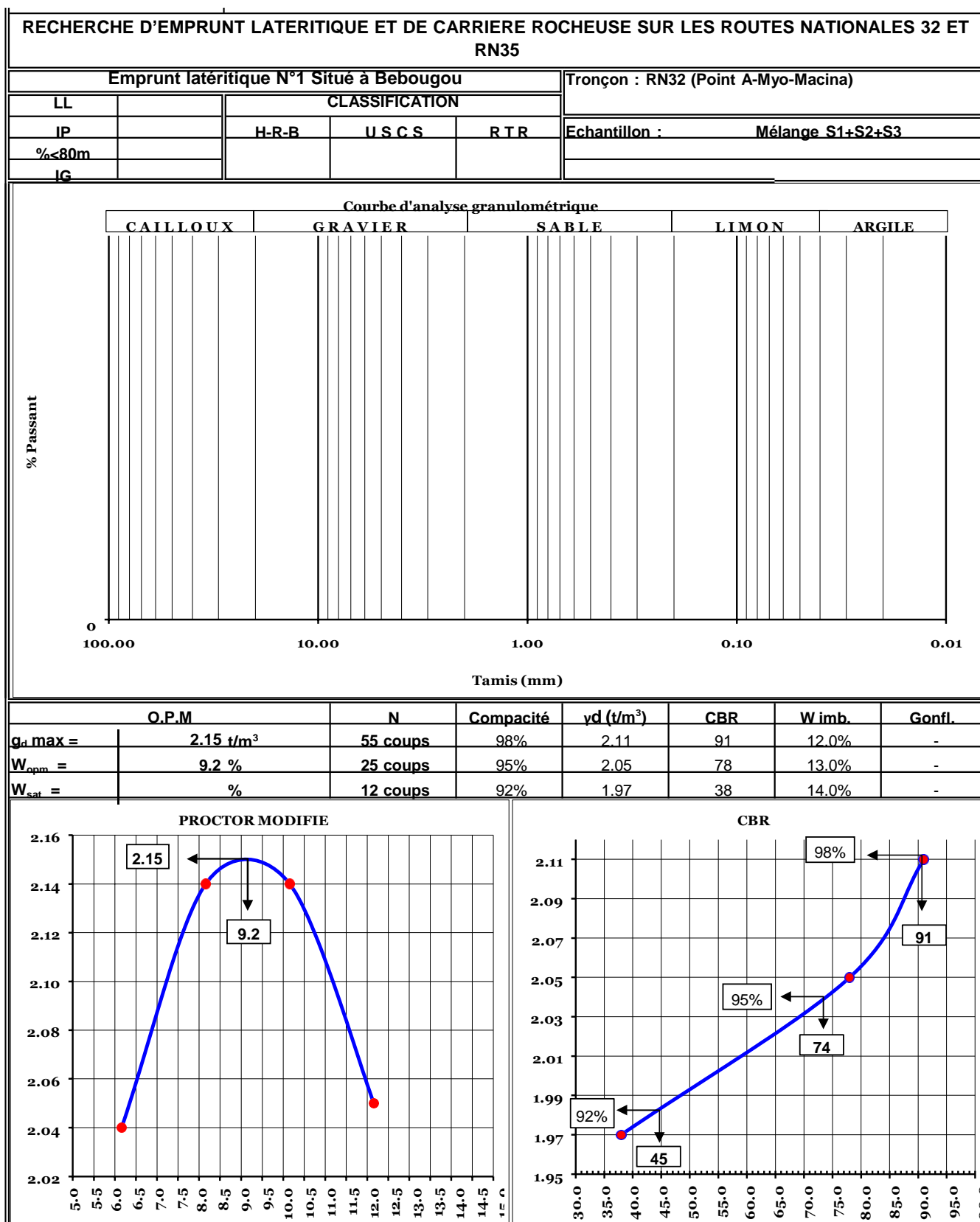
ANNEXE RECONNAISSANCE DES EMPRUNTS



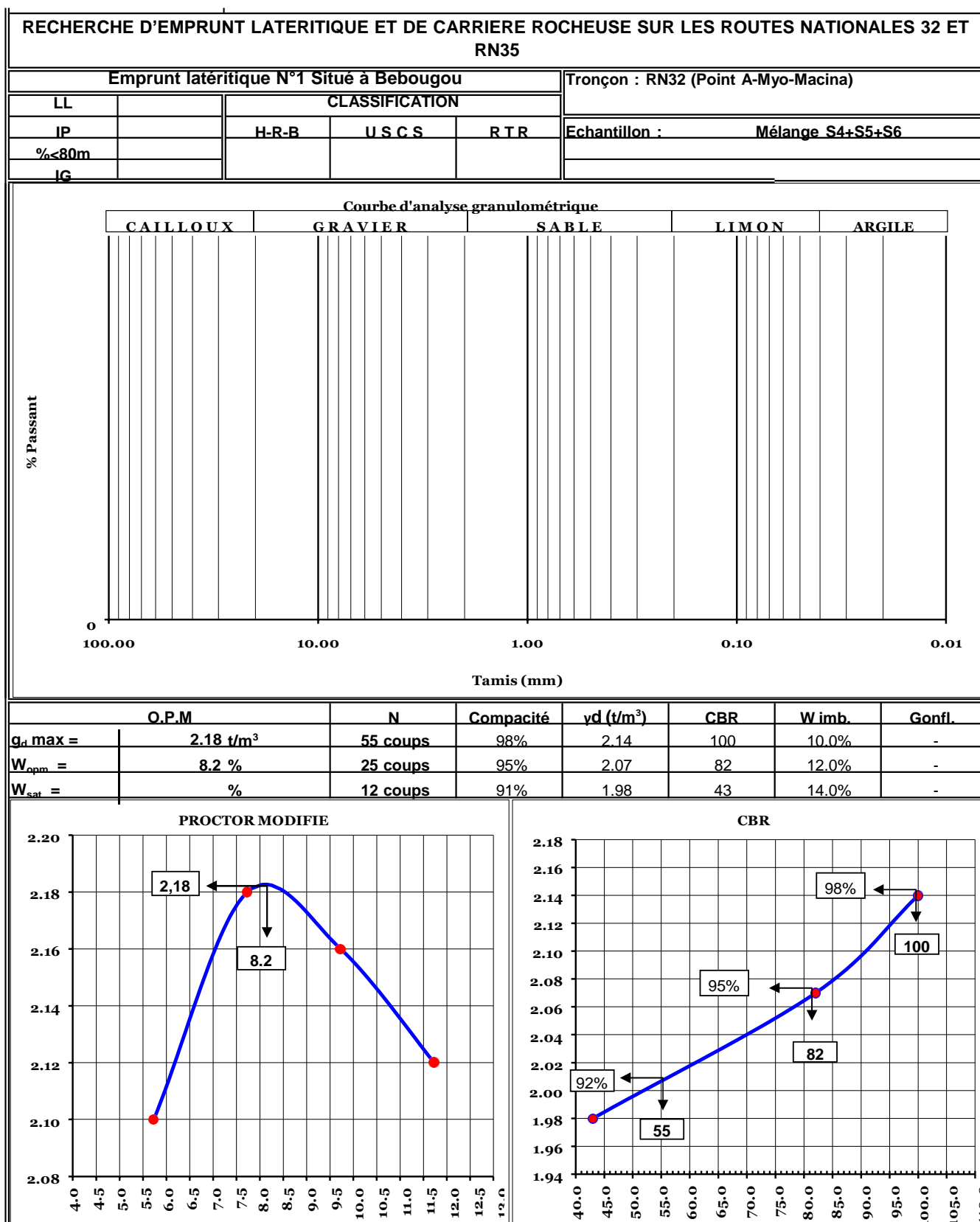
ANNEXE RECONNAISSANCE DES EMPRUNTS



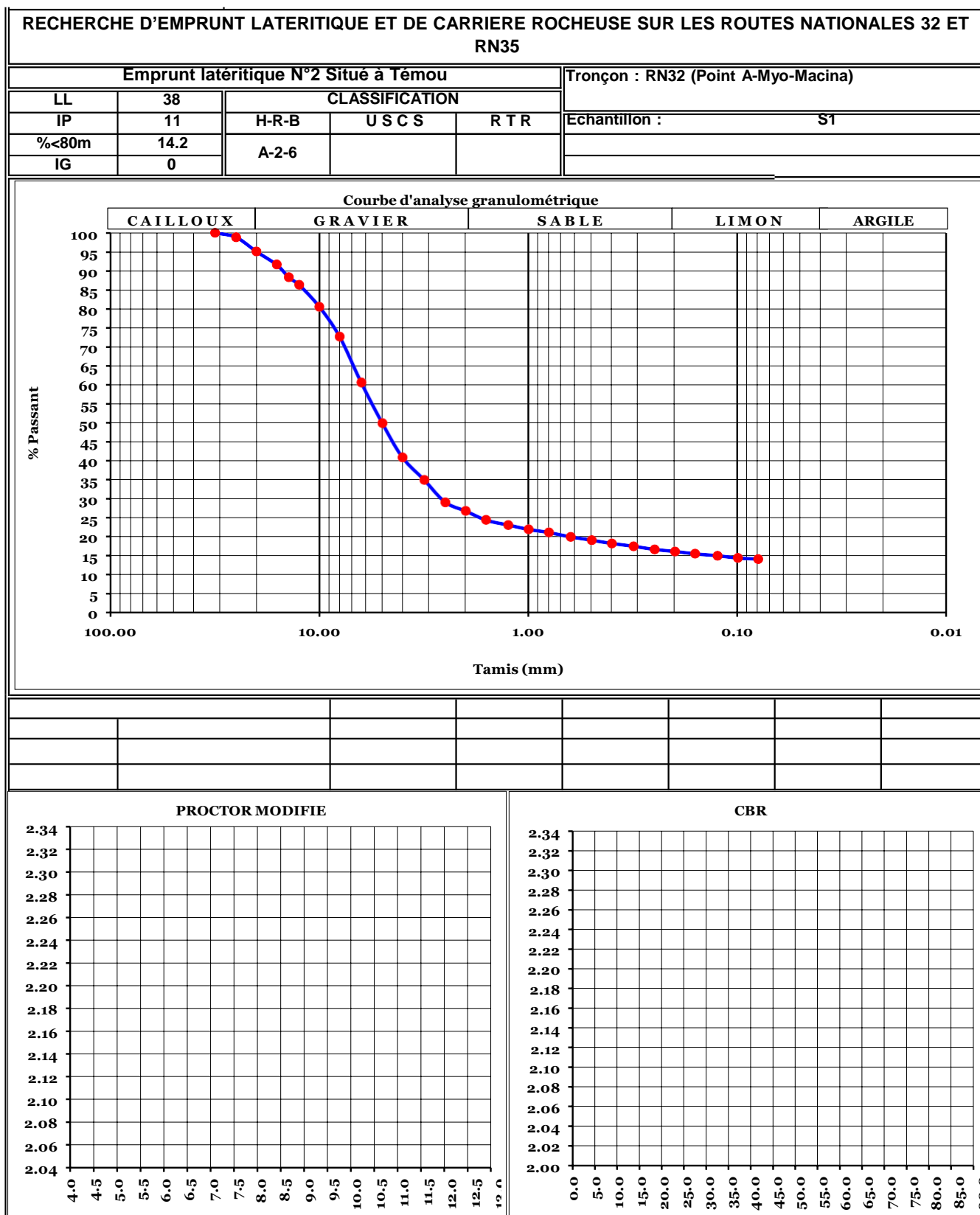
ANNEXE RECONNAISSANCE DES EMPRUNTS



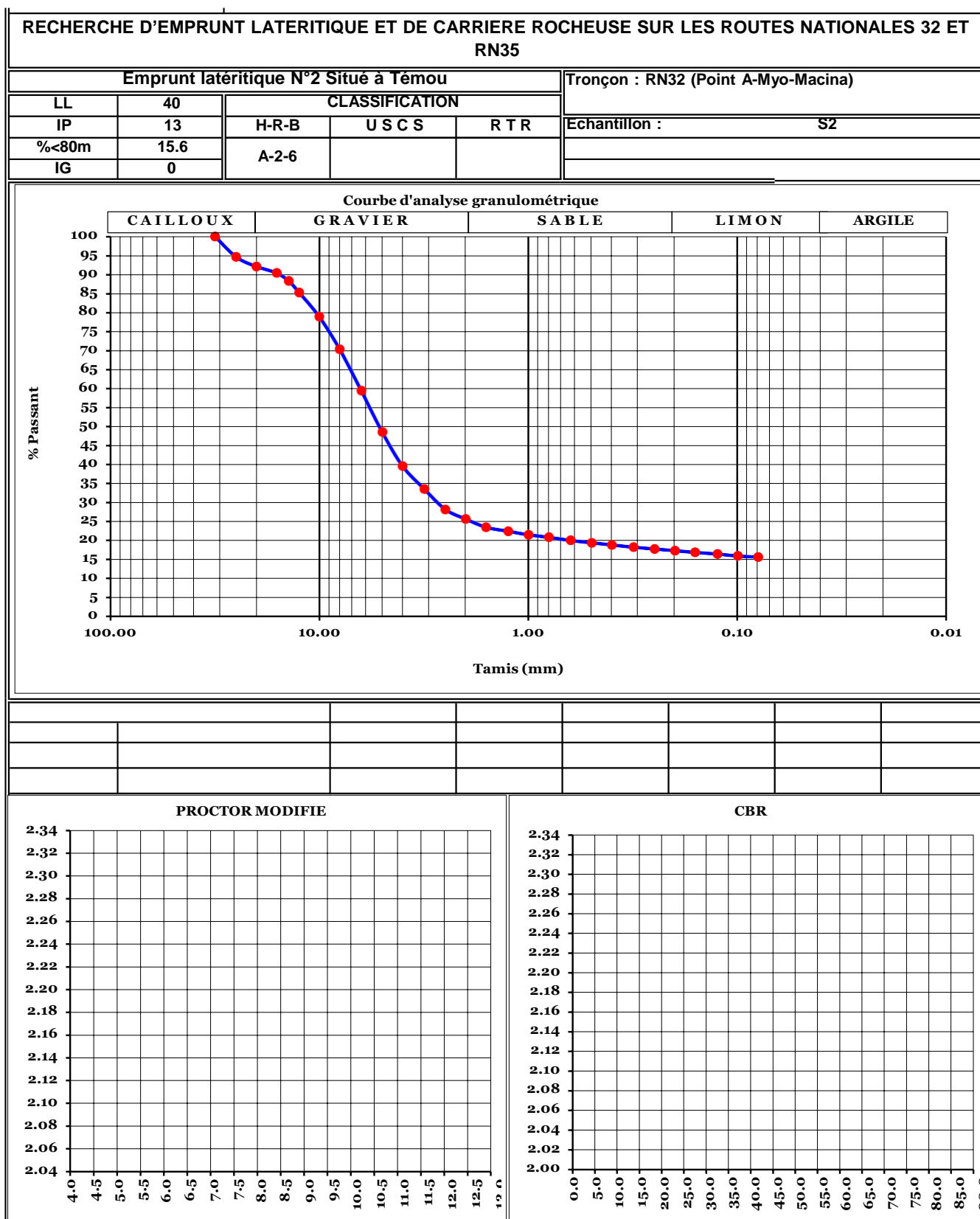
ANNEXE RECONNAISSANCE DES EMPRUNTS



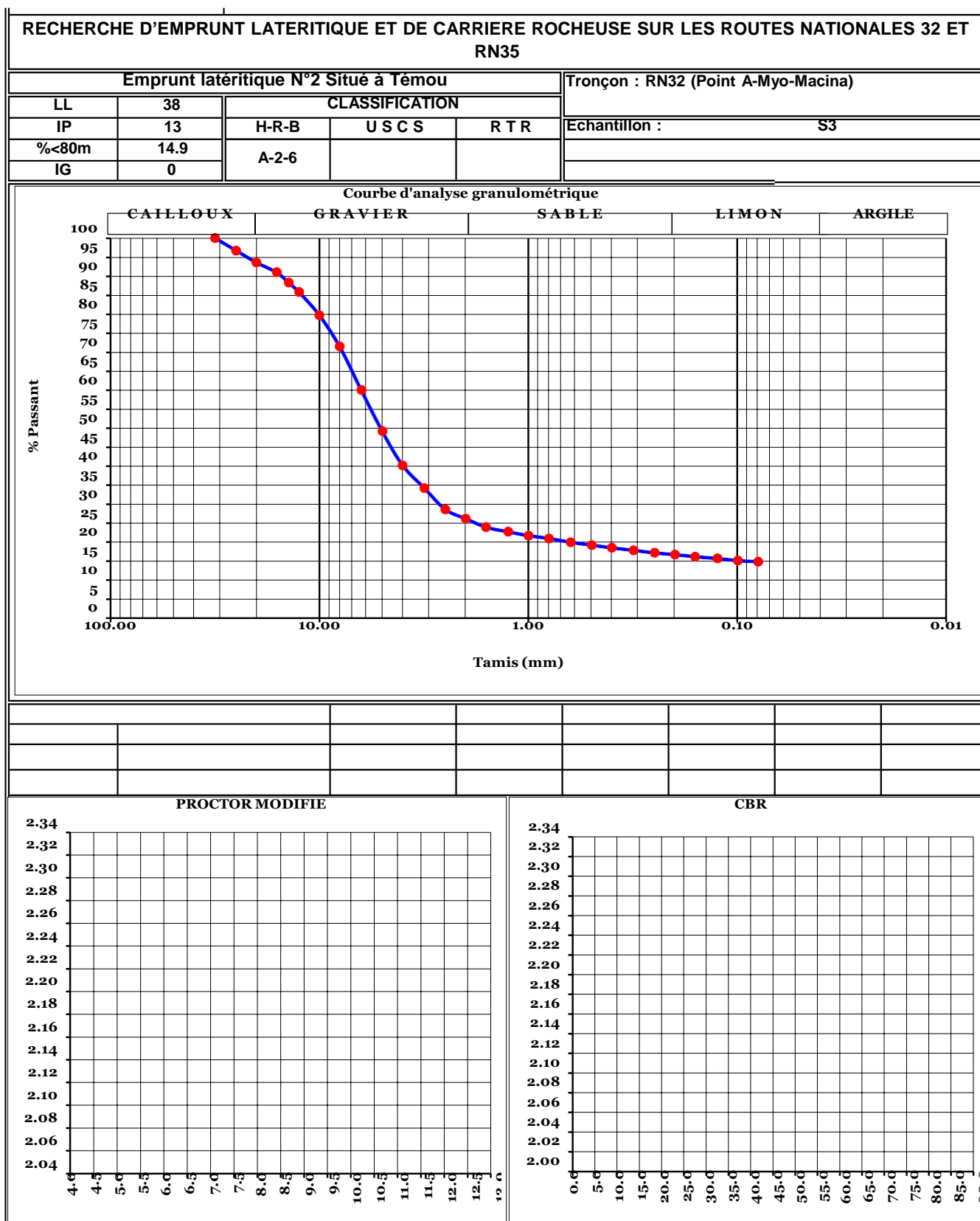
ANNEXE RECONNAISSANCE DES EMPRUNTS



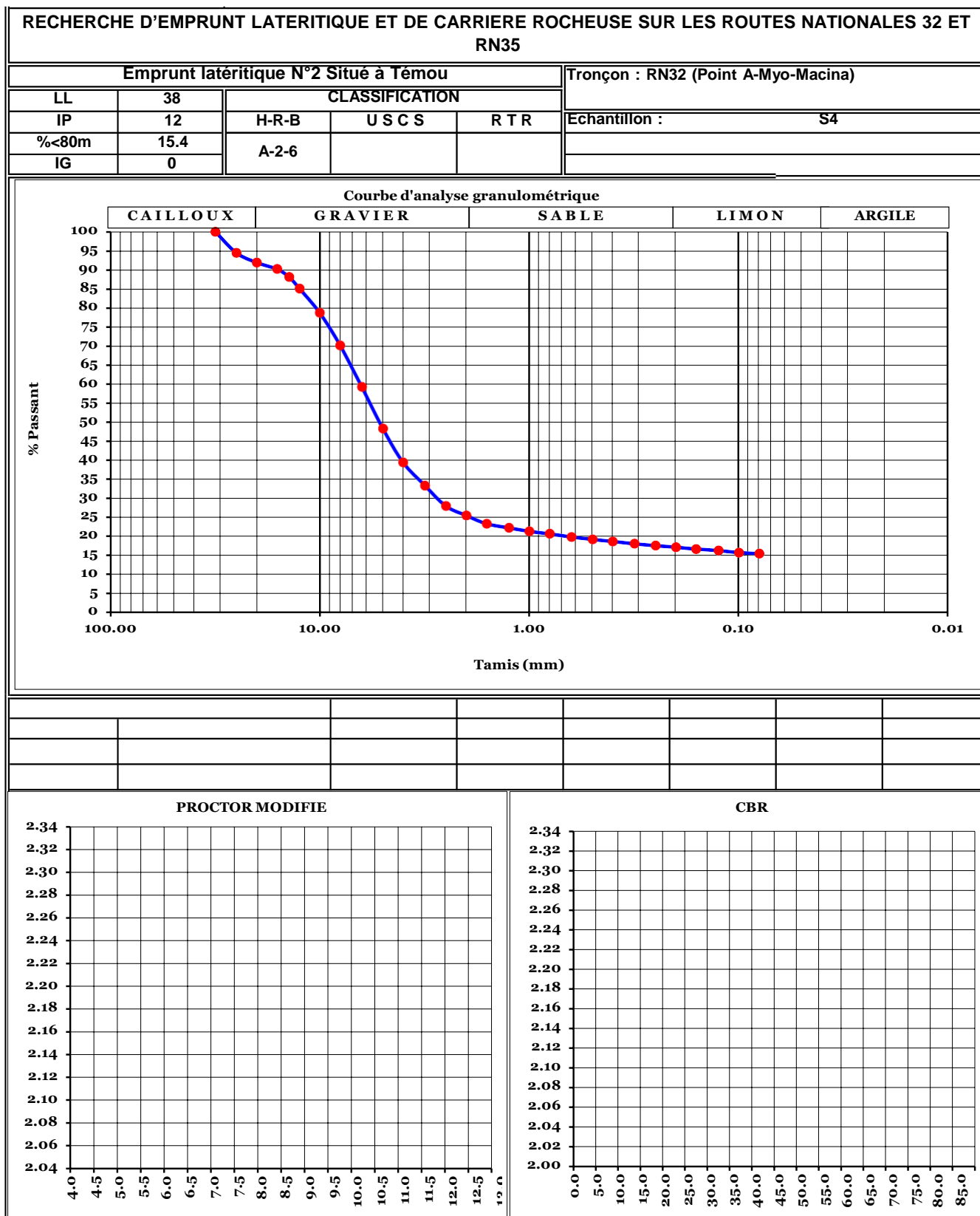
ANNEXE RECONNAISSANCE DES EMPRUNTS



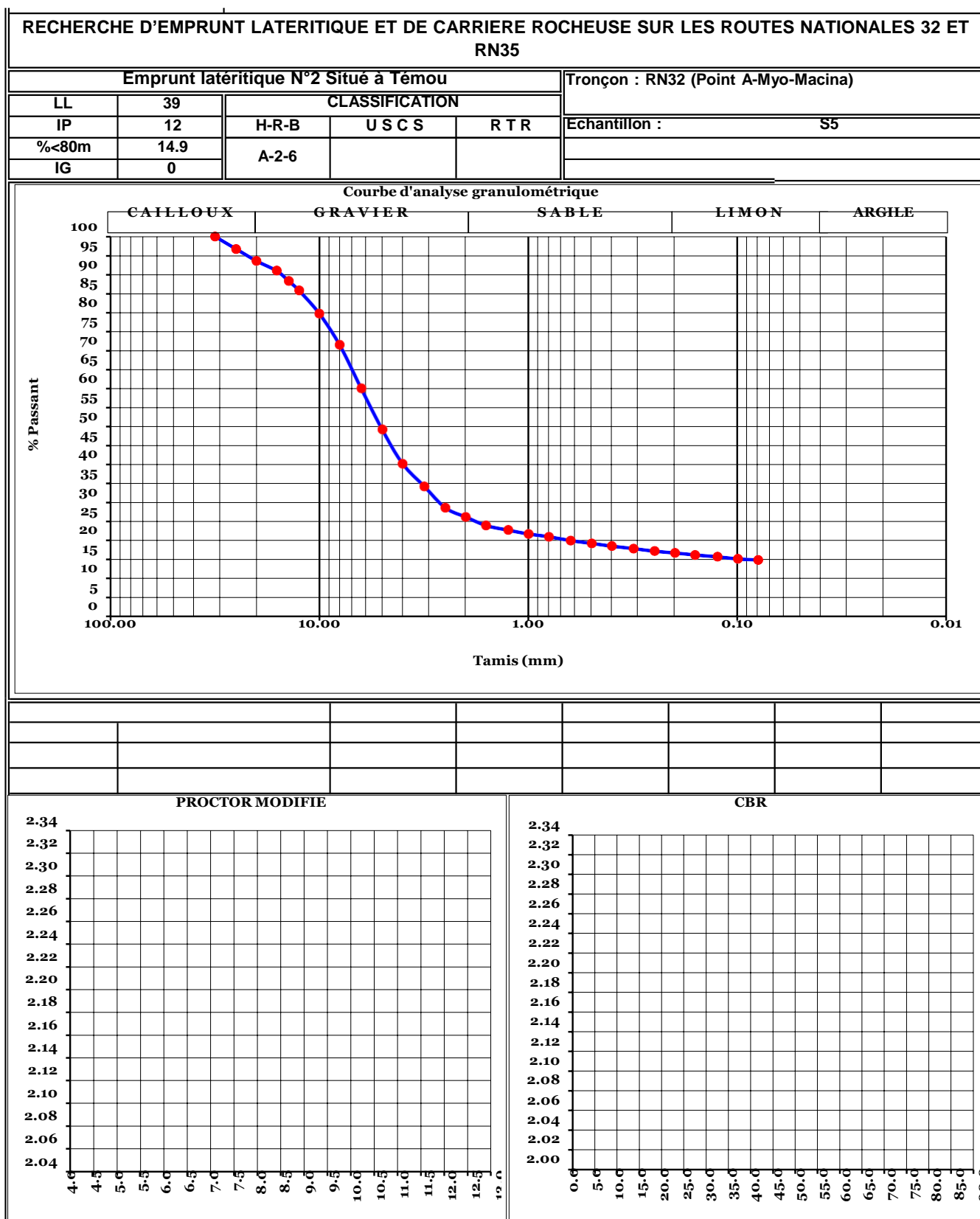
ANNEXE RECONNAISSANCE DES EMPRUNTS



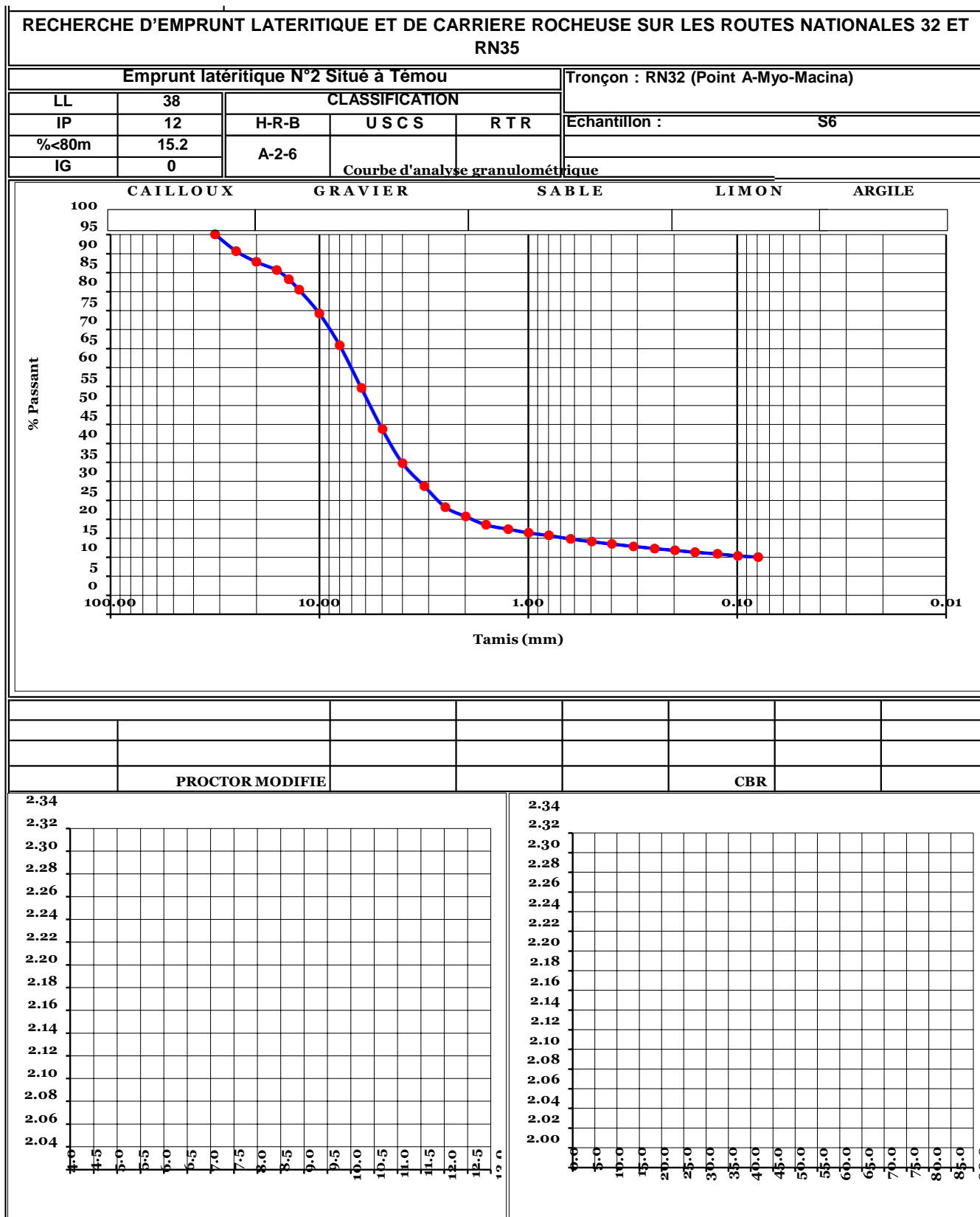
ANNEXE RECONNAISSANCE DES EMPRUNTS



ANNEXE RECONNAISSANCE DES EMPRUNTS

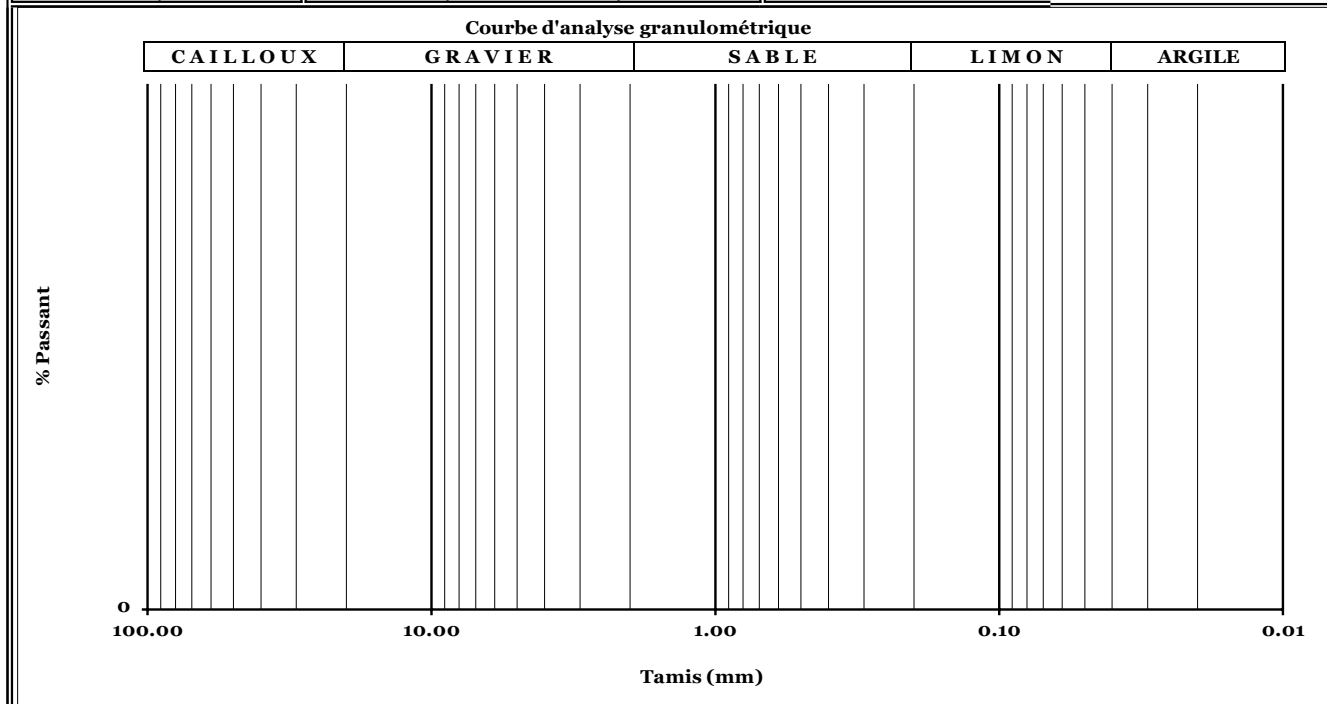


ANNEXE RECONNAISSANCE DES EMPRUNTS

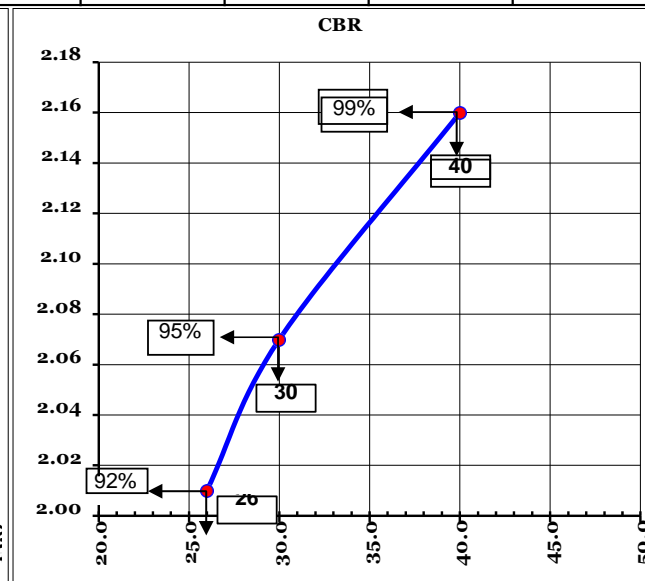
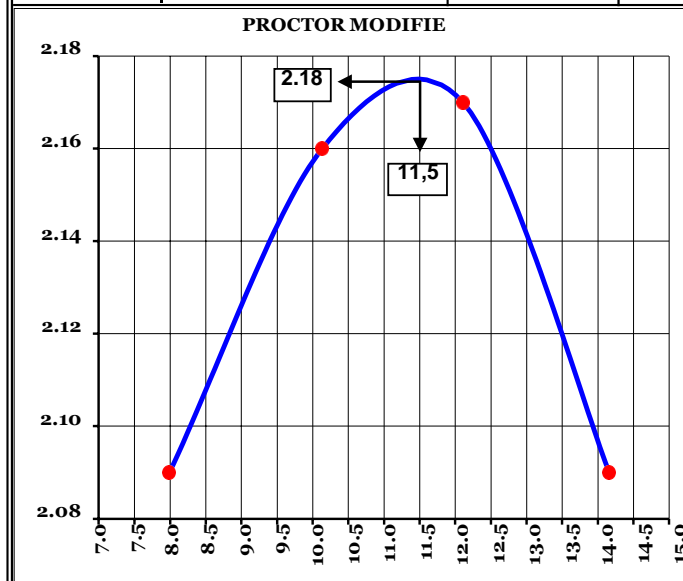


ANNEXE RECONNAISSANCE DES EMPRUNTS

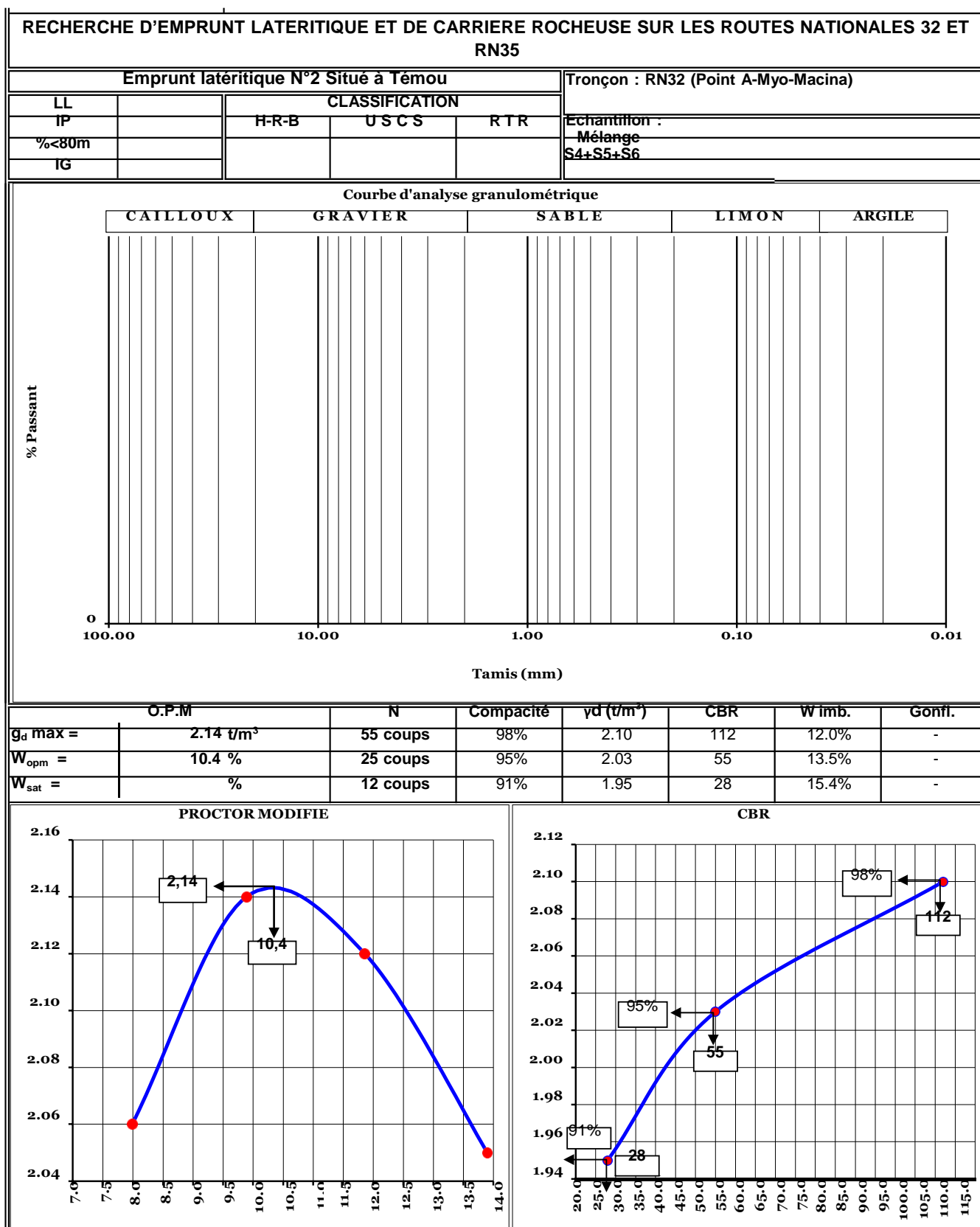
| RECHERCHE D'EMPRUNT LATÉRIQUE ET DE CARRIÈRE ROCHEUSE SUR LES ROUTES NATIONALES 32 ET RN35 | | | | |
|--|--|----------------|-------------------------------------|-------|
| Emprunt latéritique N°2 Situé à Témou | | | Tronçon : RN32 (Point A-Myo-Macina) | |
| LL | | CLASSIFICATION | | |
| IP | | H-R-B | U S C S | R T R |
| %<80m | | | | |
| IG | | | | |
| | | | Echantillon : | |
| | | | Mélange | |
| | | | S1+S2+S3 | |



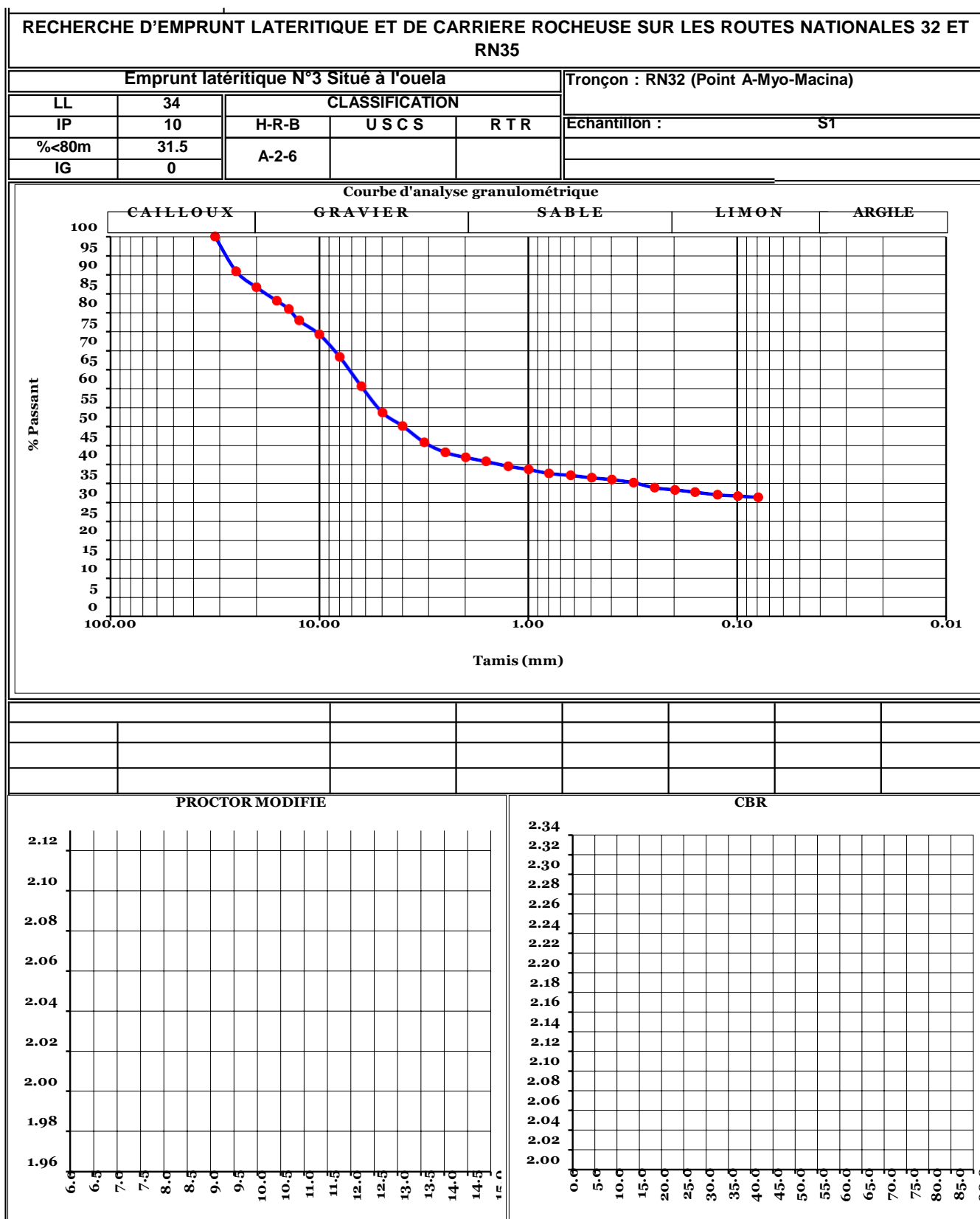
| | O.P.M | N | Compacité | γ_d (t/m ³) | CBR | W imb. | Gonfl. |
|-------------|-----------------------|----------|-----------|--------------------------------|-----|--------|--------|
| g_d max = | 2.18 t/m ³ | 55 coups | 99% | 2.16 | 40 | 15.5% | - |
| W_{opm} = | 11.5 % | 25 coups | 95% | 2.07 | 30 | 17.2% | - |
| W_{sat} = | % | 12 coups | 92% | 2.01 | 26 | 18.4% | - |



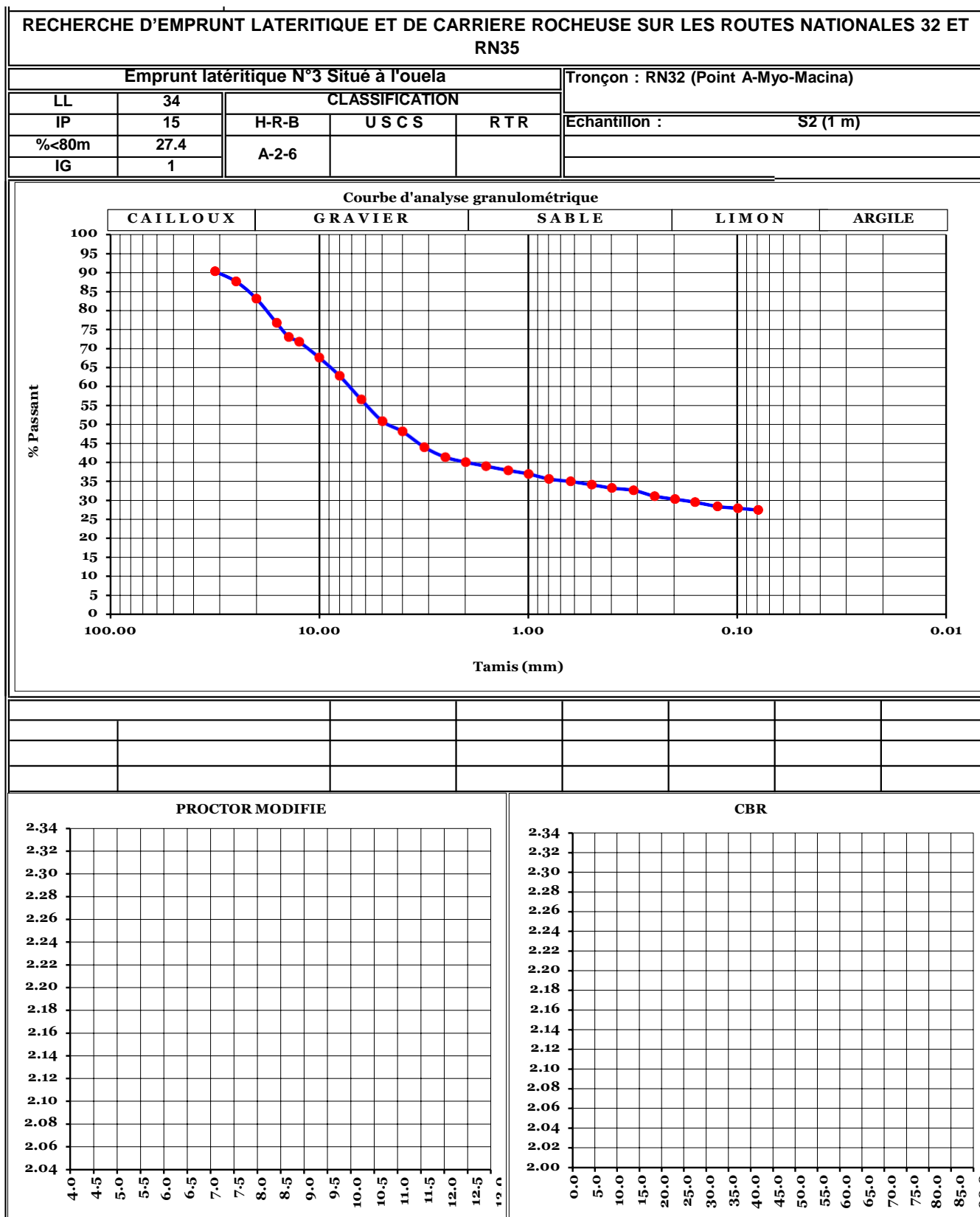
ANNEXE RECONNAISSANCE DES EMPRUNTS



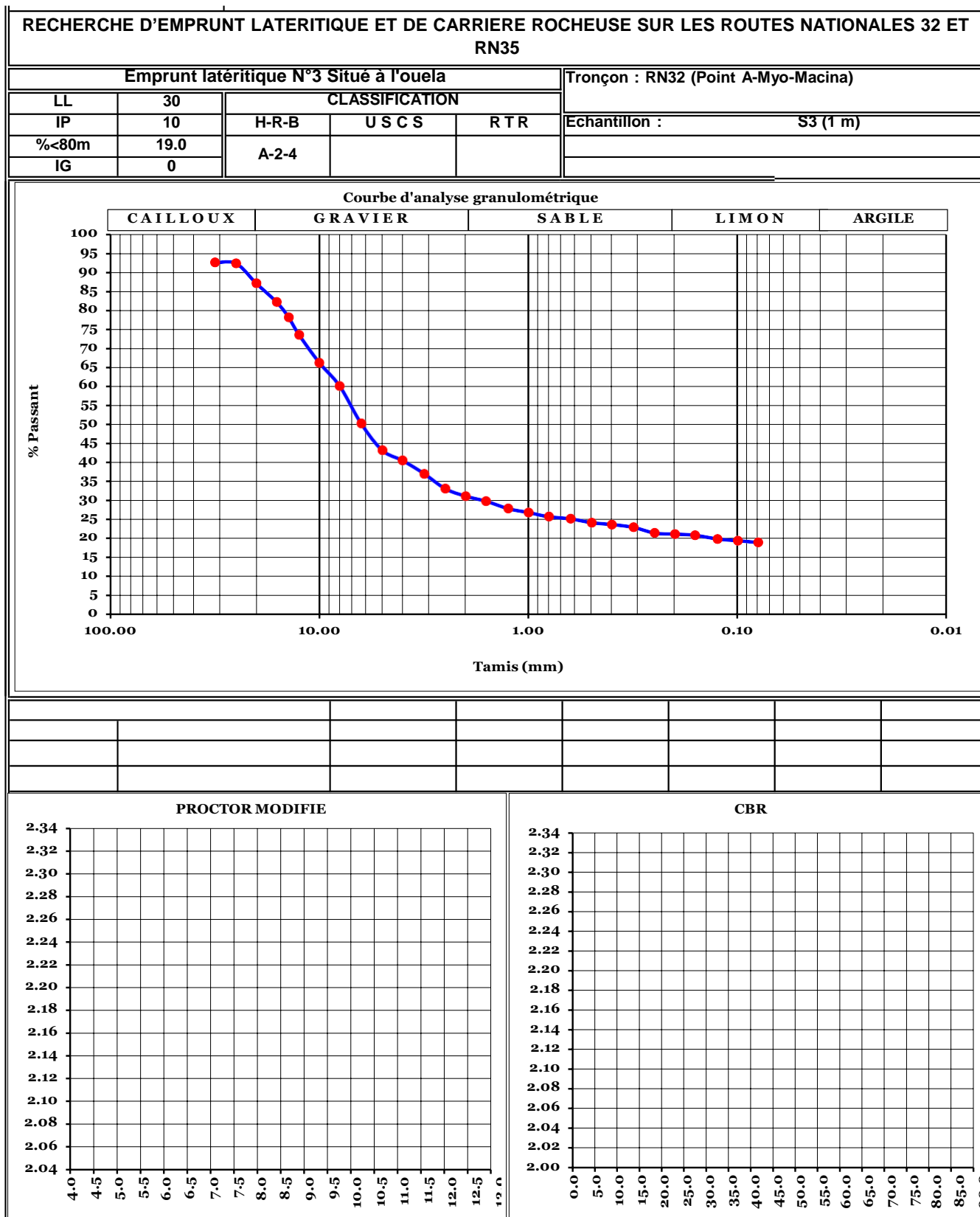
ANNEXE RECONNAISSANCE DES EMPRUNTS



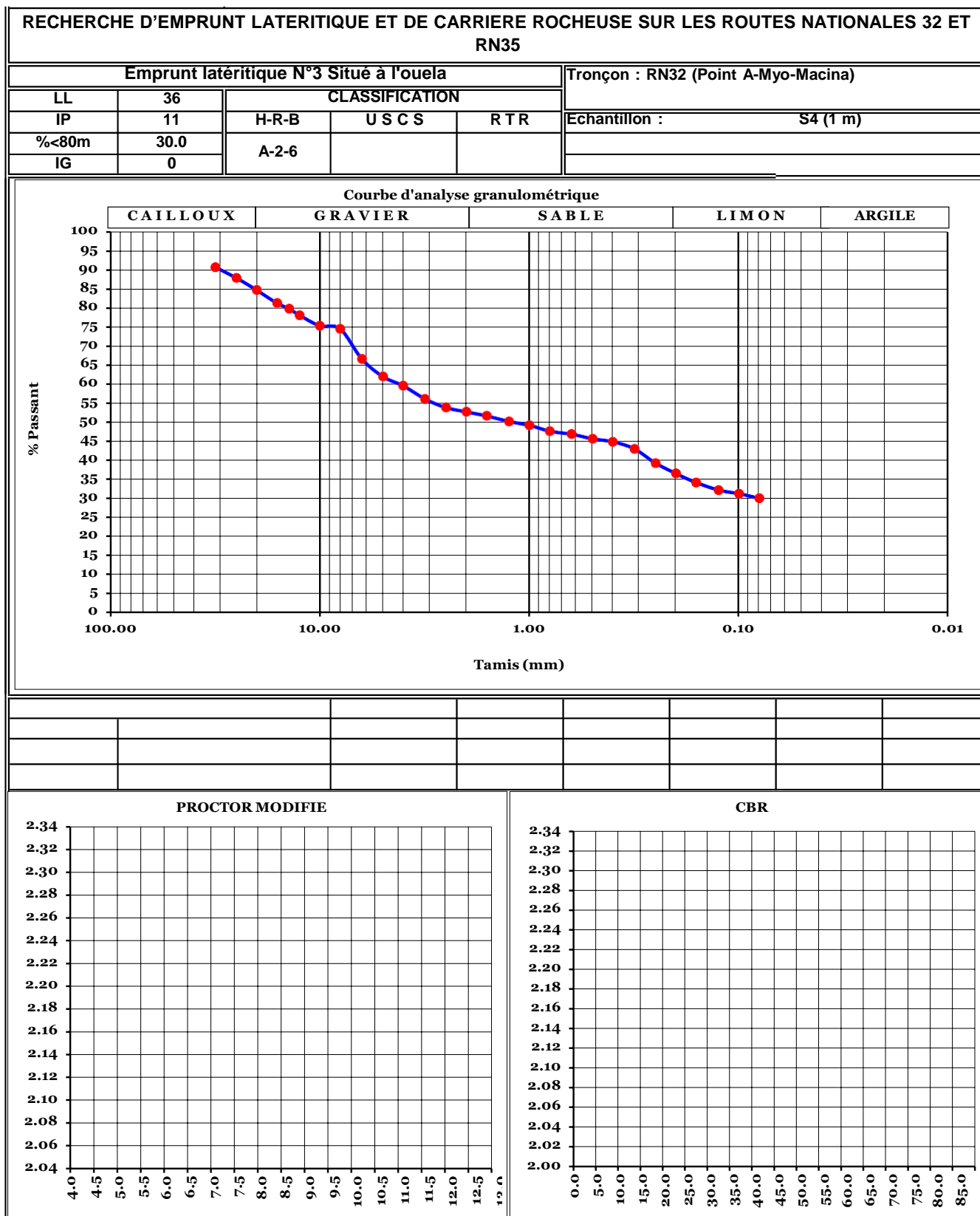
ANNEXE RECONNAISSANCE DES EMPRUNTS



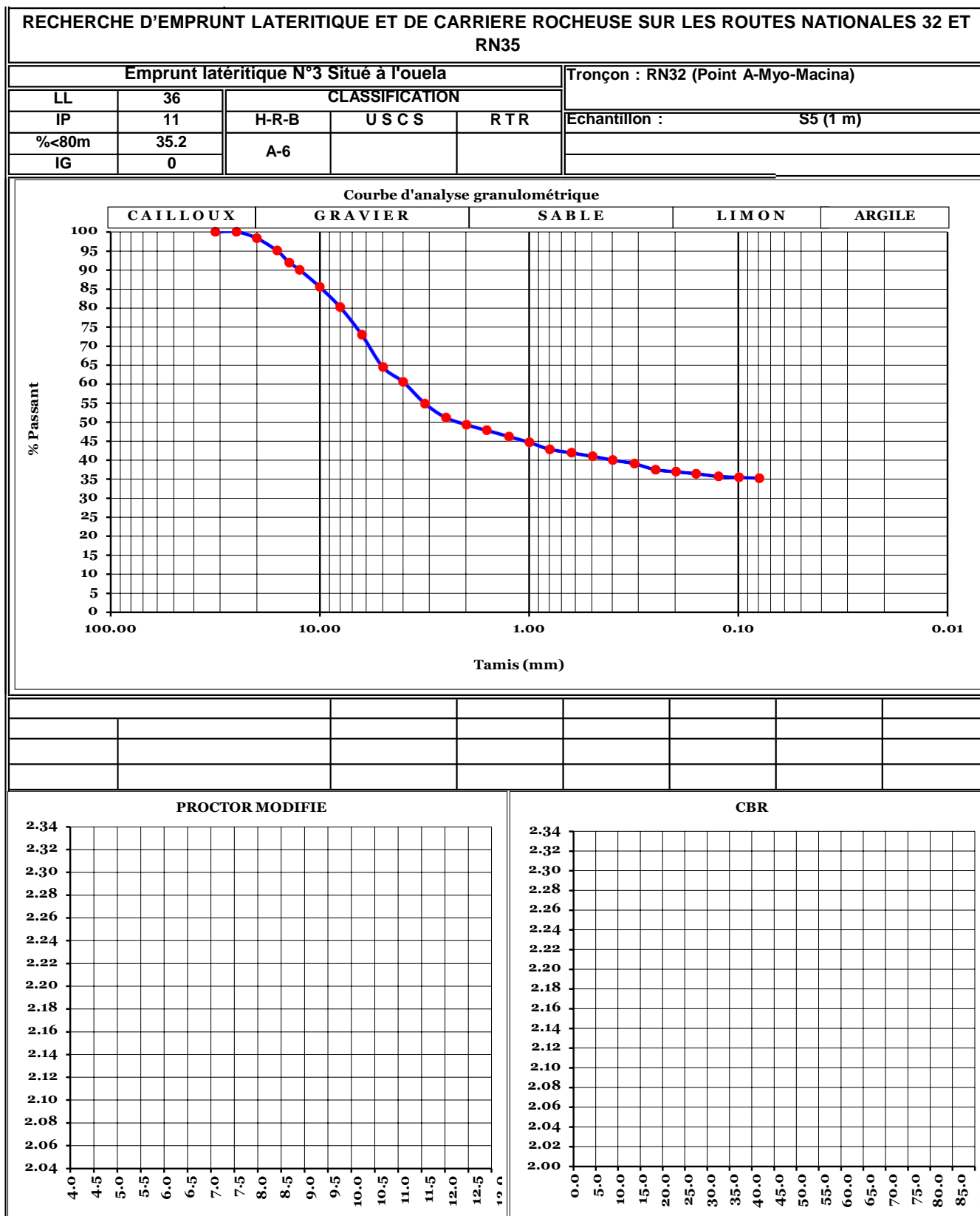
ANNEXE RECONNAISSANCE DES EMPRUNTS



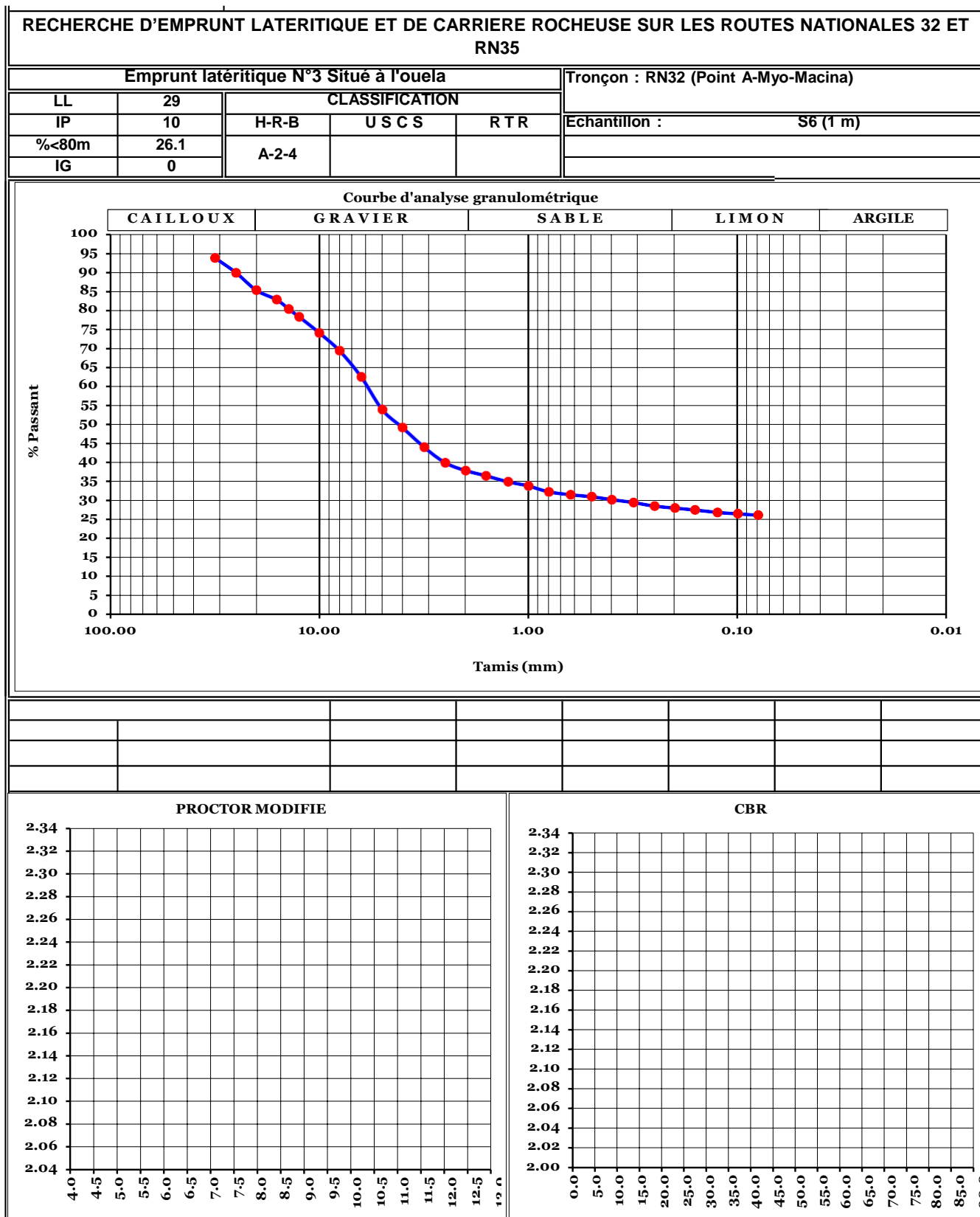
ANNEXE RECONNAISSANCE DES EMPRUNTS



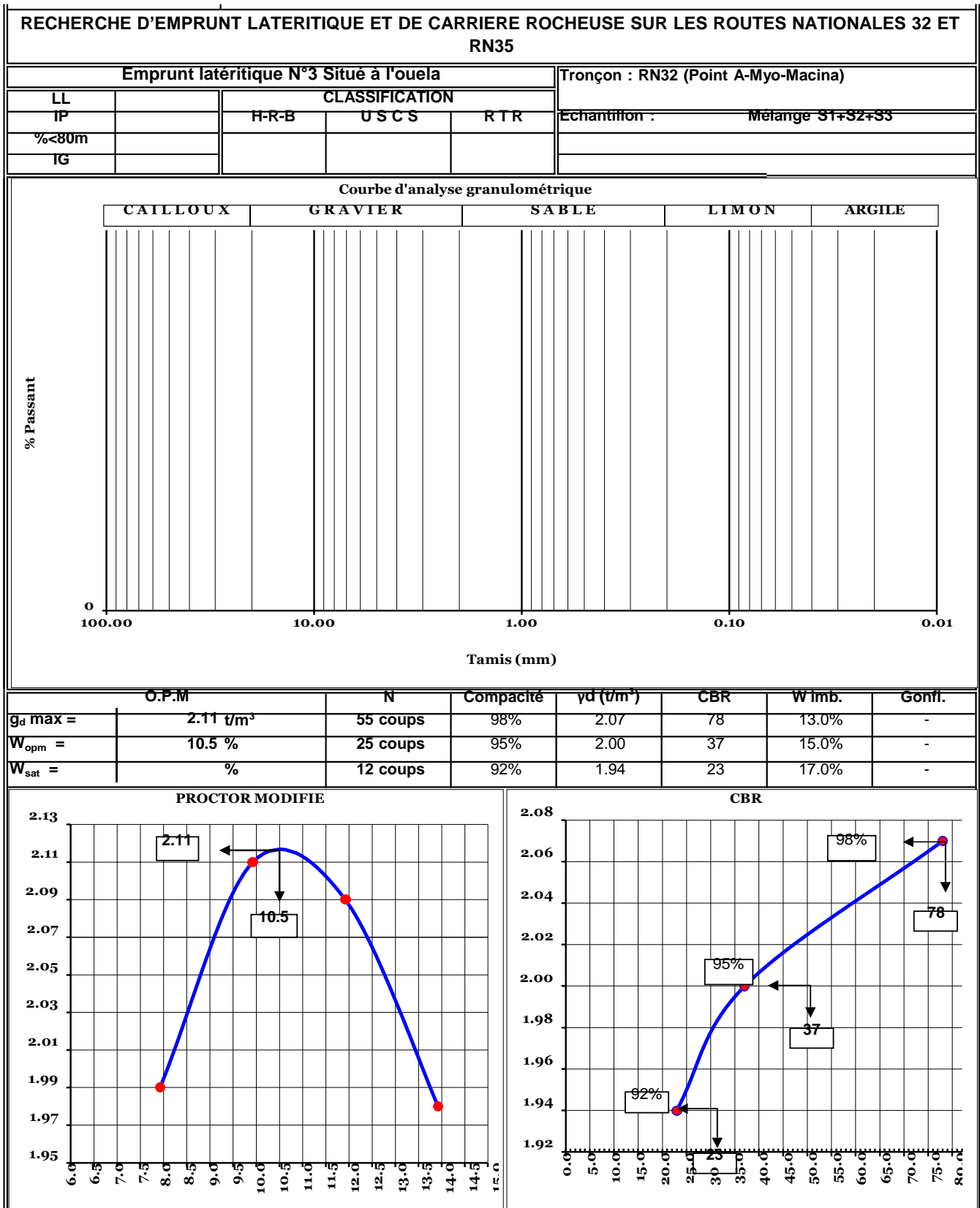
ANNEXE RECONNAISSANCE DES EMPRUNTS



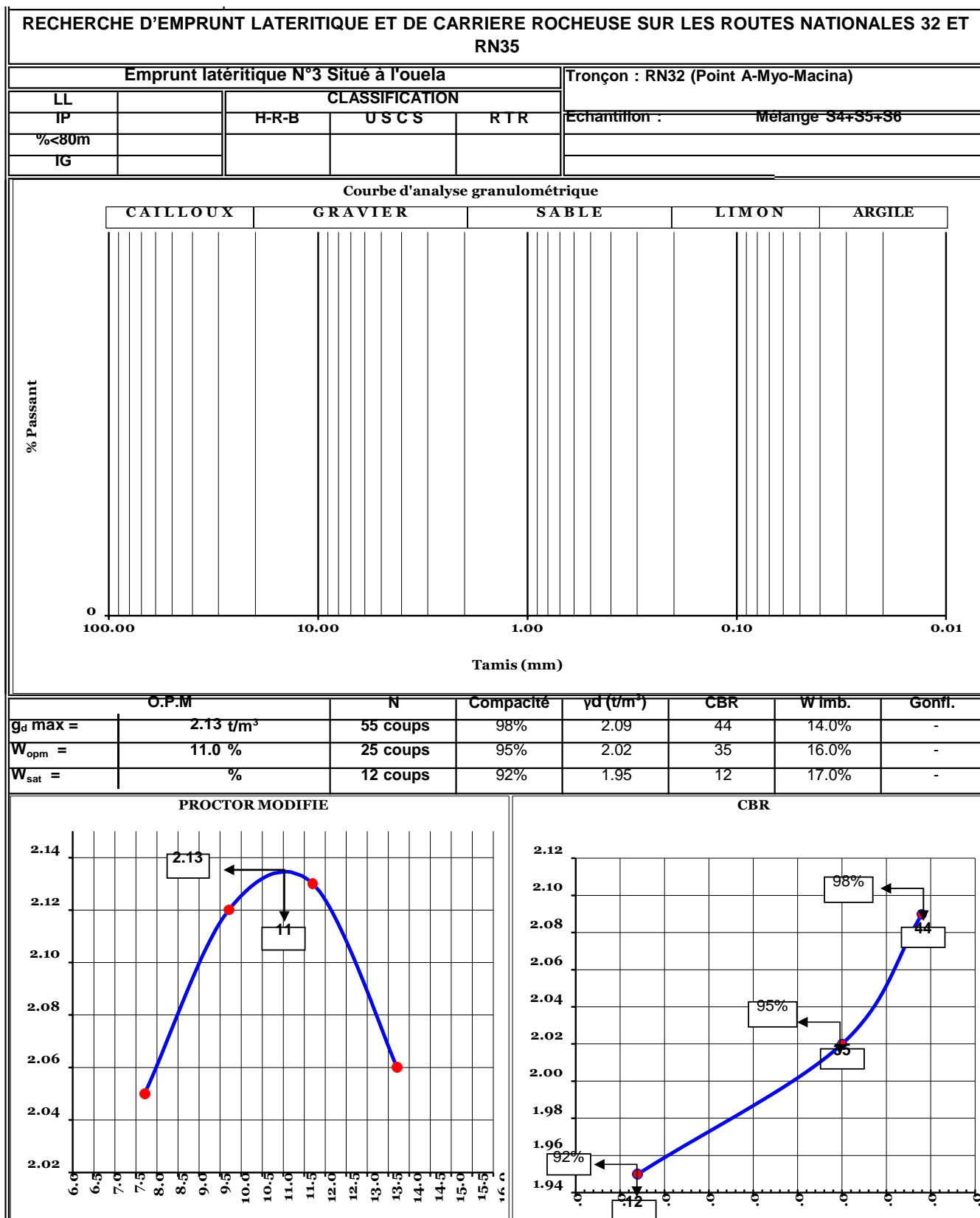
ANNEXE RECONNAISSANCE DES EMPRUNTS



ANNEXE RECONNAISSANCE DES EMPRUNTS



ANNEXE RECONNAISSANCE DES EMPRUNTS



4- Tableaux récapitulatifs des résultats des essais sur les emprunts

Tableau 80: Récapitulatifs des essais géotechniques

| Désignation | Granulometrie % Passant A (mm) | | | | | | | | | | | Limites Atterberg | | Classification HBR | Proctor Modifie | | CBR a% De compacite | | | | | |
|-----------------------------|--------------------------------|------|------|------|------|------|------|------|------|------|-------|-------------------|-------|--------------------|-----------------|------|---------------------|-----|-----|--------|--|--|
| | | | | | | | | | | | | | | | | | | | | | | |
| | 31.5 | 25 | 20 | 10 | 5 | 2 | 1 | 0.5 | 0.4 | 0.2 | 0.08 | LL | IP | | DSM | Wopm | 92% | 95% | 98% | Gonf % | | |
| | E1 BEBOUGOU PK 0+100 | | | | | | | | | | | | | | | | | | | | | |
| Sondage N°1 | 92.2 | 88.4 | 87.2 | 73.4 | 48.4 | 31.4 | 24.9 | 21.7 | 20.1 | 17.4 | 15.51 | 29 | 9.1 | A-2-4 | | | | | | | | |
| Sondage N°2 | 88.6 | 86.1 | 77.2 | 52.7 | 27.8 | 13.9 | 10.2 | 8.3 | 7.9 | 6.8 | 5.99 | 32 | 9.19 | A-2-4 | | | | | | | | |
| Sondage N°3 | 96.7 | 93.5 | 84.5 | 63.4 | 35.8 | 20.3 | 15.9 | 13.5 | 12.9 | 11.4 | 10.14 | 30 | 8.79 | A-2-4 | | | | | | | | |
| Sondage N°4 | 97.7 | 89.6 | 84.8 | 70.2 | 48.0 | 30.3 | 23.6 | 18.9 | 17.7 | 14.0 | 11.00 | 32 | 8.9 | A-2-4 | | | | | | | | |
| Sondage N°5 | 82.4 | 79.0 | 72.5 | 49.6 | 23.2 | 11.2 | 8.5 | 7.3 | 7.0 | 6.4 | 5.74 | 20 | 10 | A-2-4 | | | | | | | | |
| Sondage N°6 | 100.0 | 93.6 | 92.3 | 71.3 | 47.5 | 30.3 | 23.8 | 19.7 | 18.6 | 15.5 | 13.20 | 27 | 8.3 | A-2-4 | | | | | | | | |
| Mélange 1 (S1+S2+S3) | 99 | 97 | 88 | 67 | 45 | 40 | 34 | 27 | 22 | 18 | 14 | 33.30 | 11.9 | A-2-4 | 2.15 | 9.2 | 45 | 74 | 91 | | | |
| Mélange 2 (S4+S5+S6) | 98 | 98 | 92 | 79 | 50 | 45 | 36 | 24 | 17 | 14 | 9 | 35.9 | 14.4 | A-2-4 | 2.18 | 8.2 | 55 | 82 | 100 | | | |
| | E2 TEMOU PK 0+200 | | | | | | | | | | | | | | | | | | | | | |
| Sondage N°1 | 100.0 | 98.8 | 95.1 | 80.5 | 49.9 | 26.8 | 22.0 | 19.1 | 18.3 | 16.2 | 14.16 | 38 | 11.11 | A-2-6 | | | | | | | | |
| Sondage N°2 | 100.0 | 94.6 | 92.1 | 78.9 | 48.5 | 25.7 | 21.5 | 19.4 | 18.8 | 17.3 | 15.65 | 40 | 13.21 | A-2-6 | | | | | | | | |

| Désignation | Granulometrie % Passant A (mm) | | | | | | | | | | | Limites Atterber g | | Classification HBR | Proctor Modifie | | CBR a% De compacite | | | | |
|-----------------------------|--------------------------------|------|------|------|------|------|------|------|------|------|-------|--------------------|-------|--------------------|-----------------|------------------|---------------------|-----|-----|---------------|--|
| | | | | | | | | | | | | | | | | | | | | | |
| | 31.5 | 25 | 20 | 10 | 5 | 2 | 1 | 0.5 | 0.4 | 0.2 | 0.08 | LL | IP | | D _{sM} | W _{opm} | 92% | 95% | 98% | Go nf % | |
| Sondage N°3 | 100.0 | 96.7 | 93.6 | 79.7 | 49.2 | 26.2 | 21.7 | 19.3 | 18.6 | 16.7 | 14.9 | 38 | 12.8 | A-2-6 | | | | | | | |
| Sondage N°4 | 100.0 | 94.4 | 91.9 | 78.7 | 48.3 | 25.5 | 21.3 | 19.2 | 18.6 | 17.1 | 15.45 | 38 | 12.16 | A-2-6 | | | | | | | |
| Sondage N°5 | 100.0 | 96.7 | 93.6 | 79.7 | 49.2 | 26.2 | 21.7 | 19.3 | 18.6 | 16.7 | 14.9 | 39 | 12.21 | A-2-6 | | | | | | | |
| Sondage N°6 | 100.0 | 95.6 | 92.7 | 79.2 | 48.8 | 25.9 | 21.5 | 19.2 | 18.6 | 16.9 | 15.17 | 38 | 12.48 | A-2-6 | | | | | | | |
| Mélange 1 (S1+S2+S3) | 100.0 | 97 | 89 | 80 | 50 | 48 | 32 | 28 | 20 | 17 | 11 | 38.50 | 12.37 | A-2-6 | 2.18 | 11.5 | 26 | 30 | 40 | | |
| Mélange 2 (S4+S5+S6) | 100.0 | 95 | 89 | 82 | 48 | 39 | 30 | 28 | 22 | 17 | 12 | 38.23 | 12.28 | A-2-6 | 2.14 | 10.4 | 28 | 55 | 112 | | |
| | E3 OUELA PK 52+500 | | | | | | | | | | | | | | | | | | | | |
| Sondage N°1 | 100.0 | 90.8 | 86.7 | 74.3 | 53.8 | 42.0 | 38.8 | 36.7 | 36.2 | 33.4 | 31.5 | 34 | 10.4 | A-2-6 | | | | | | | |
| Sondage N°2 | 90.2 | 87.5 | 83.0 | 67.5 | 50.8 | 40.0 | 36.9 | 34.1 | 33.2 | 30.3 | 27.45 | 34 | 14.67 | A-2-6 | | | | | | | |
| Sondage N°3 | 92.5 | 92.3 | 87.0 | 66.2 | 43.2 | 31.1 | 26.8 | 24.2 | 23.7 | 21.2 | 19 | 30 | 10 | A-2-4 | | | | | | | |

| Désignation | Granulometrie % Passant A (mm) | | | | | | | | | | | Limites d'Atterberg | | Classification HBR | PROCTOR MODIFIE | | CBR A% DE COMPACTE | | | |
|--------------------------------|--------------------------------|------|------|------|------|------|------|------|------|------|-------|---------------------|-------|--------------------|-----------------|------|--------------------|-----|-----|--------|
| | | | | | | | | | | | | | | | | | | | | |
| | 31.5 | 25 | 20 | 10 | 5 | 2 | 1 | 0.5 | 0.4 | 0.2 | 0.08 | LL | IP | | DSM | Wopm | 92% | 95% | 98% | Gonf % |
| Sondage N°4 | 90.7 | 87.8 | 84.6 | 75.3 | 62.0 | 52.7 | 49.2 | 45.6 | 44.8 | 36.5 | 36.64 | 36 | 10.84 | A-2-6 | | | | | | |
| Sondage N°5 | 100.0 | 100. | 98.3 | 85.5 | 64.4 | 49.3 | 44.7 | 41.0 | 40.0 | 37.0 | 35.24 | 36 | 11.23 | A-2-6 | | | | | | |
| Sondage N°6 | 93.8 | 89.9 | 85.3 | 74.1 | 53.9 | 37.9 | 33.8 | 31.0 | 30.2 | 28.0 | 26.13 | 29 | 9.8 | A-2-4 | | | | | | |
| Mélange 1 (S3+S6) | 97 | 90 | 87 | 78 | 52 | 44 | 37 | 28 | 22 | 19 | 13 | 38.71 | 14.39 | A-2-4 | 2.11 | 10.5 | 23 | 37 | 55 | |
| Mélange 2 (S1+S2+S4+S5) | 95 | 92 | 88 | 77 | 54 | 46 | 33 | 29 | 23 | 18 | 11 | 44 | 16.88 | A-2-6 | 2.13 | 11.0 | 12 | 35 | 44 | |

5- Carrières rocheuses

Tableau 81 : Situation des roches massives

| N° | Section | Localité | LA | MDE |
|----|---------|-----------------|----|-----|
| 1 | RN33 | GOMA COURA LERE | 30 | 12 |
| | | | 20 | 13 |